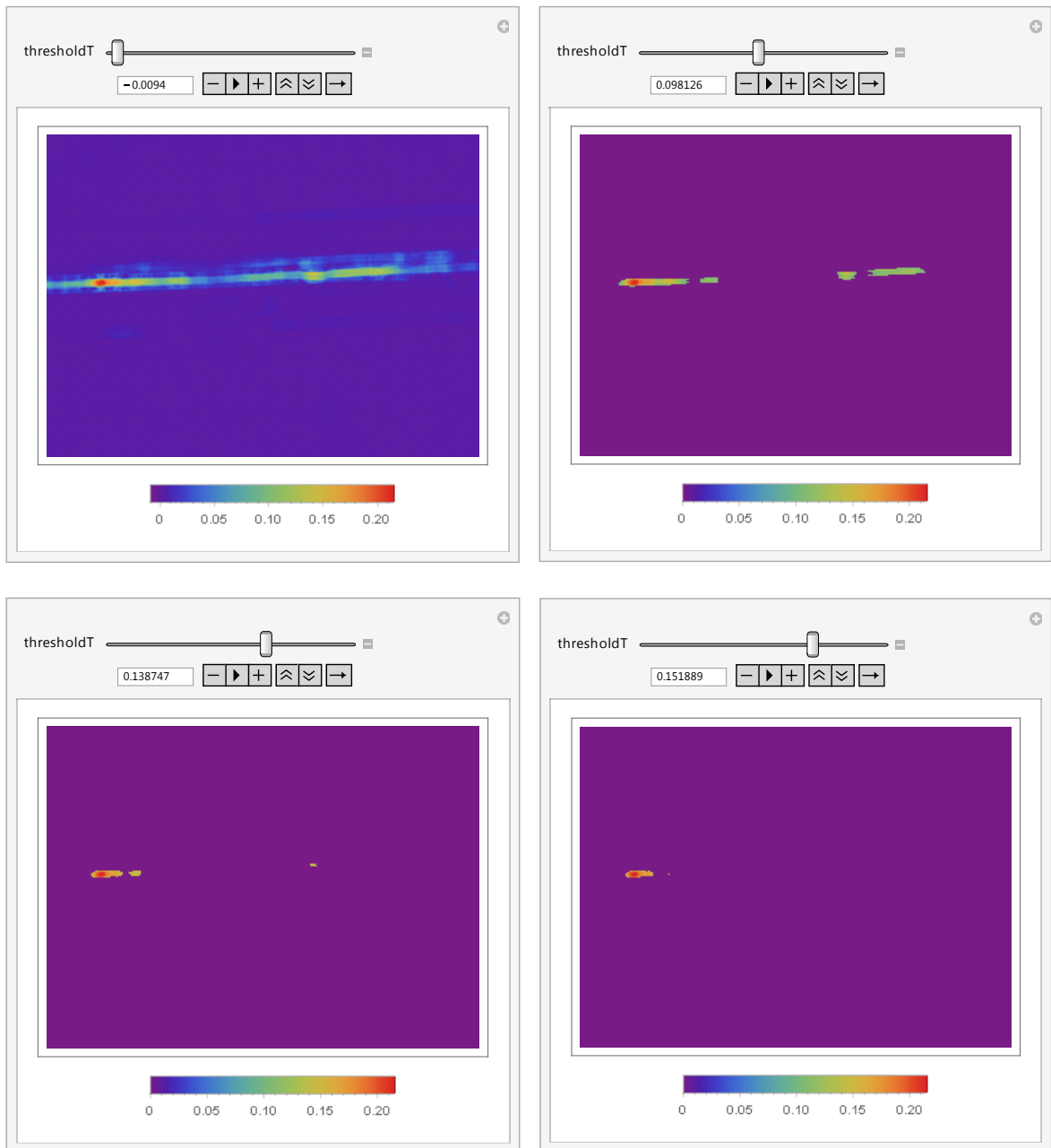
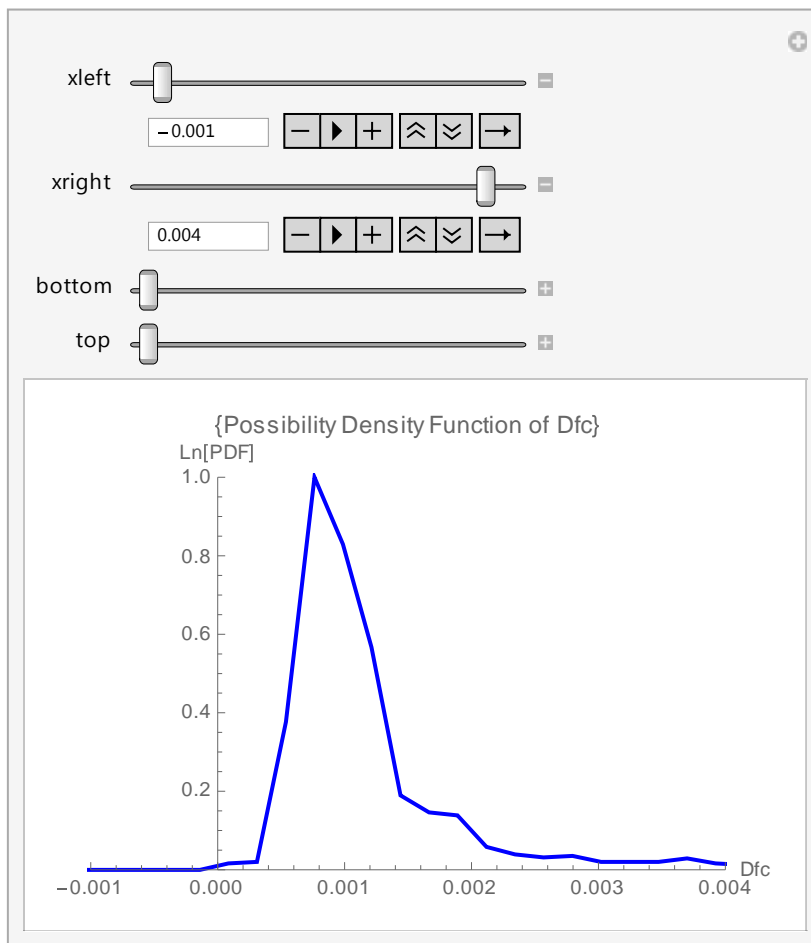
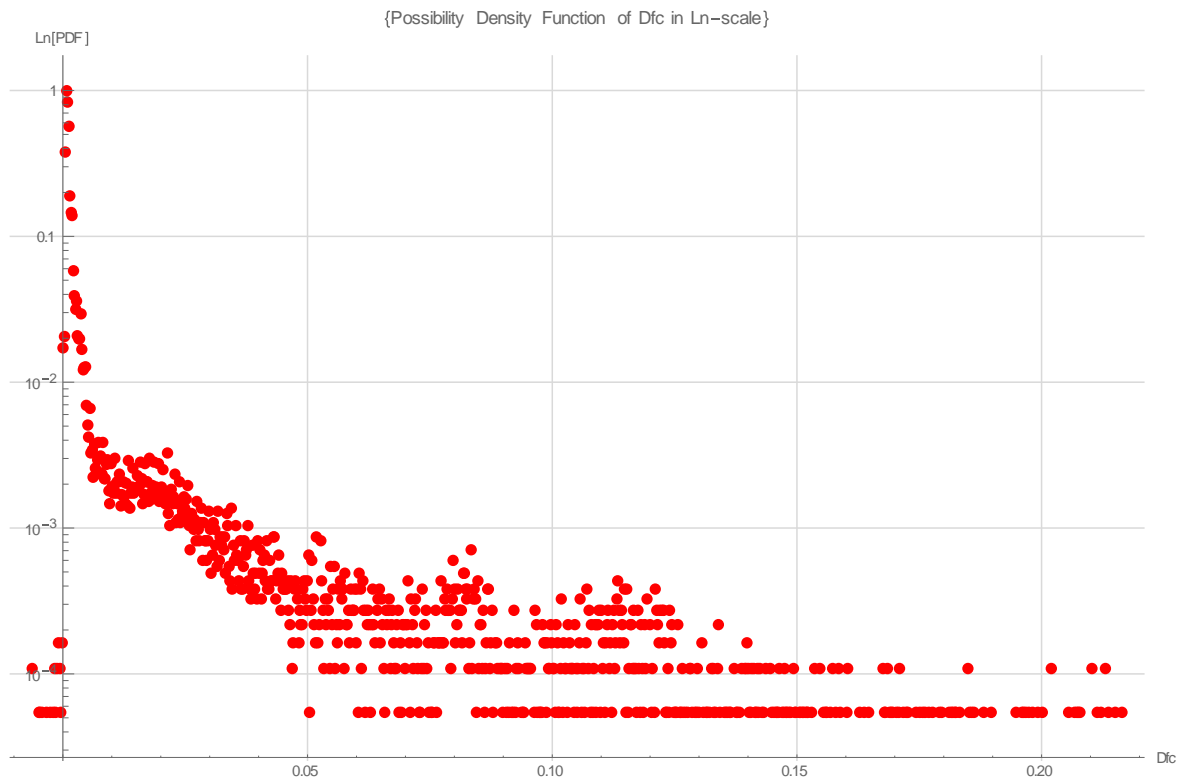
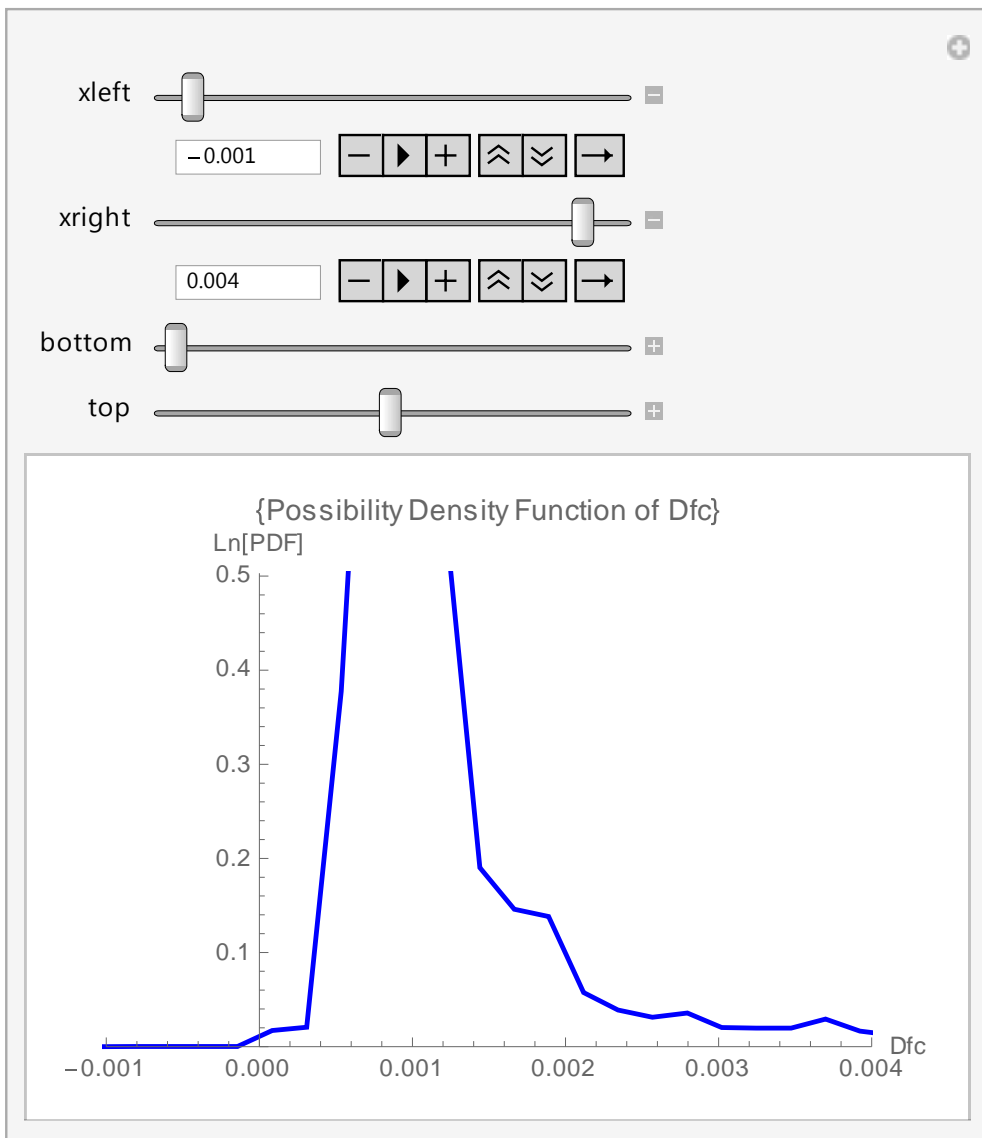


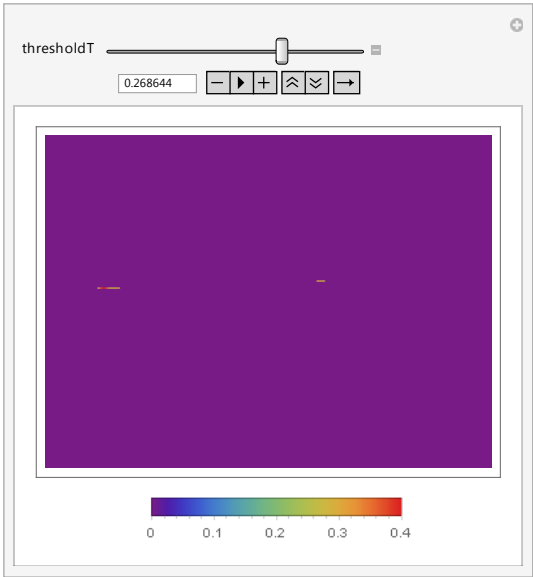
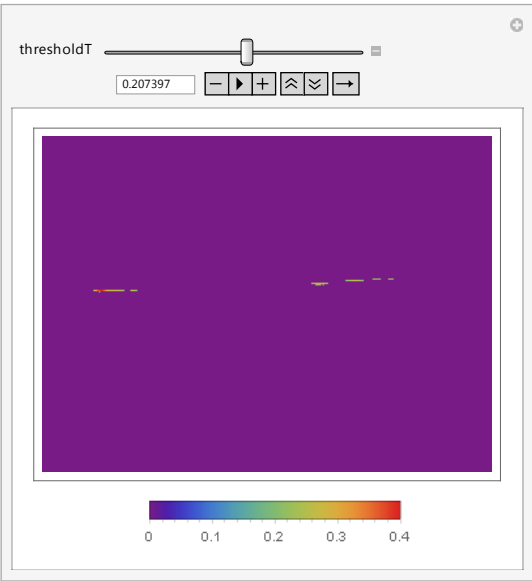
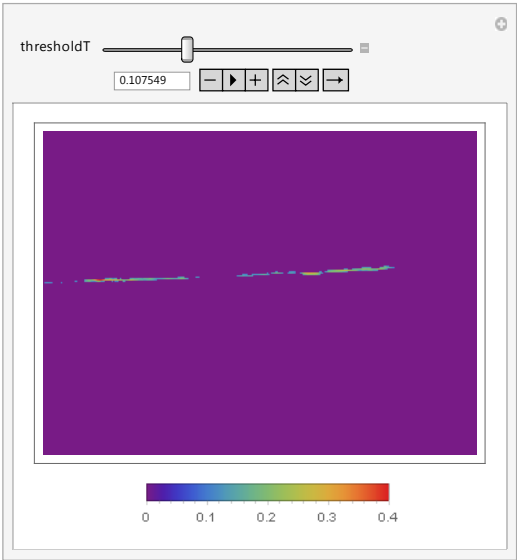
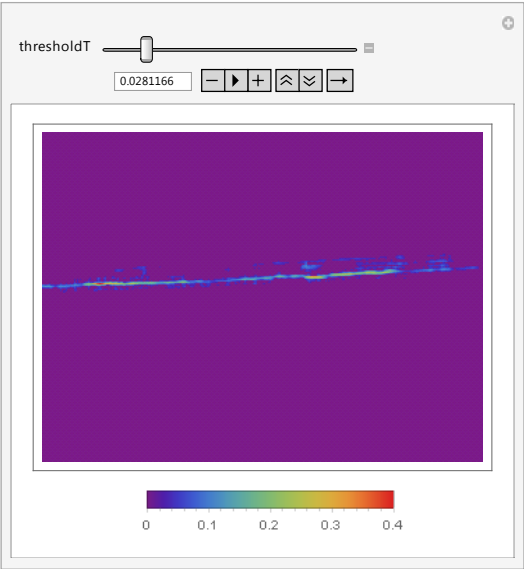
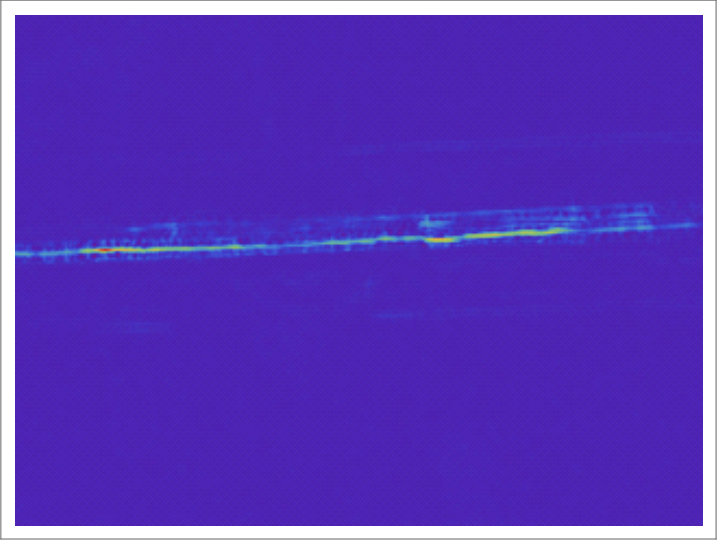
353s4

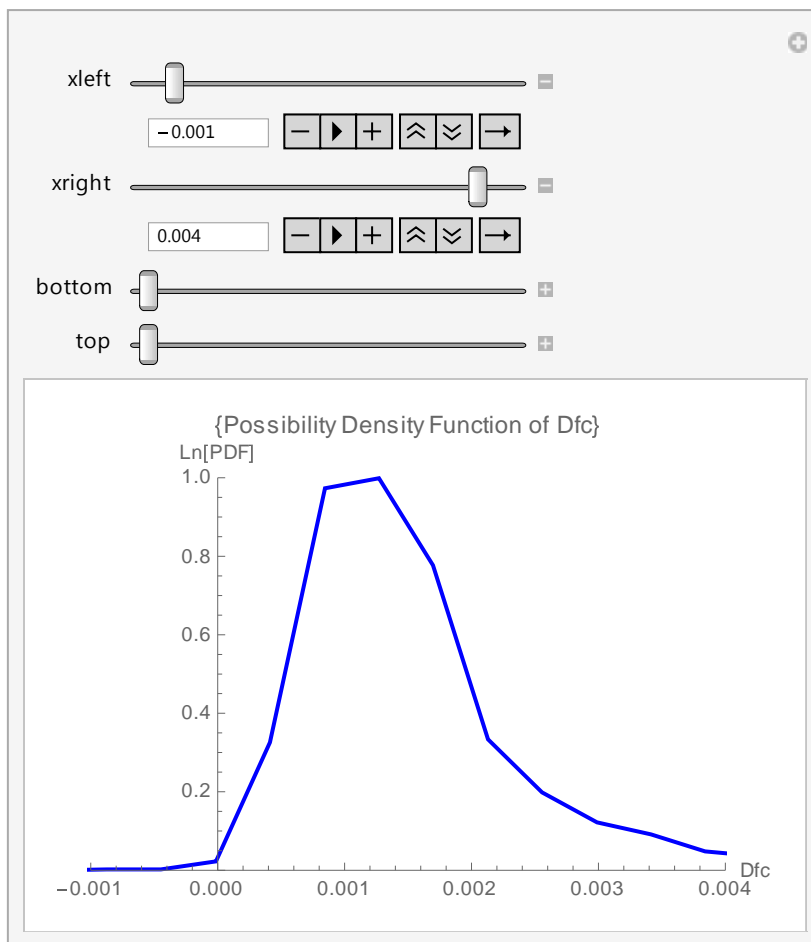
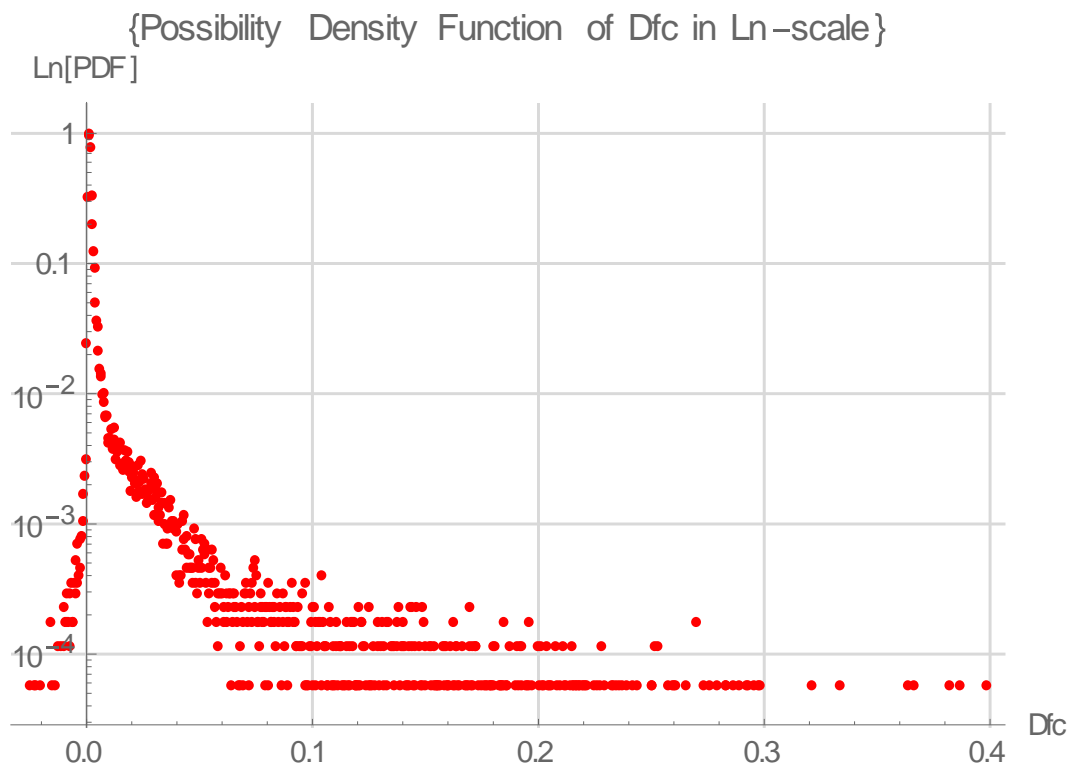


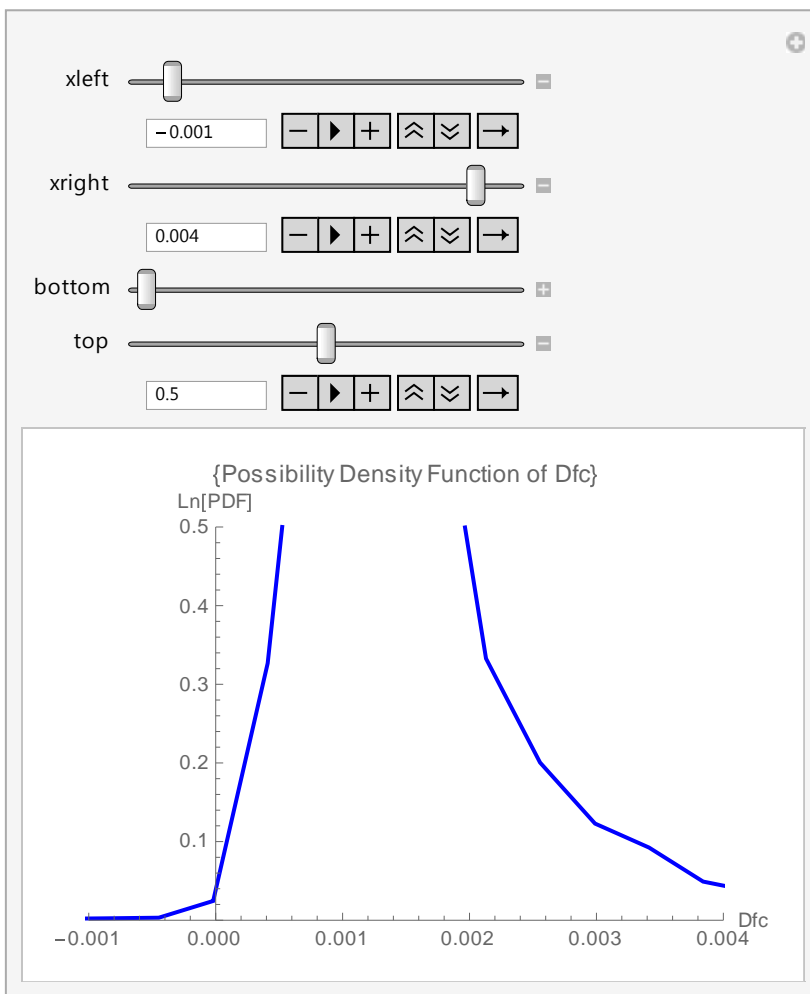




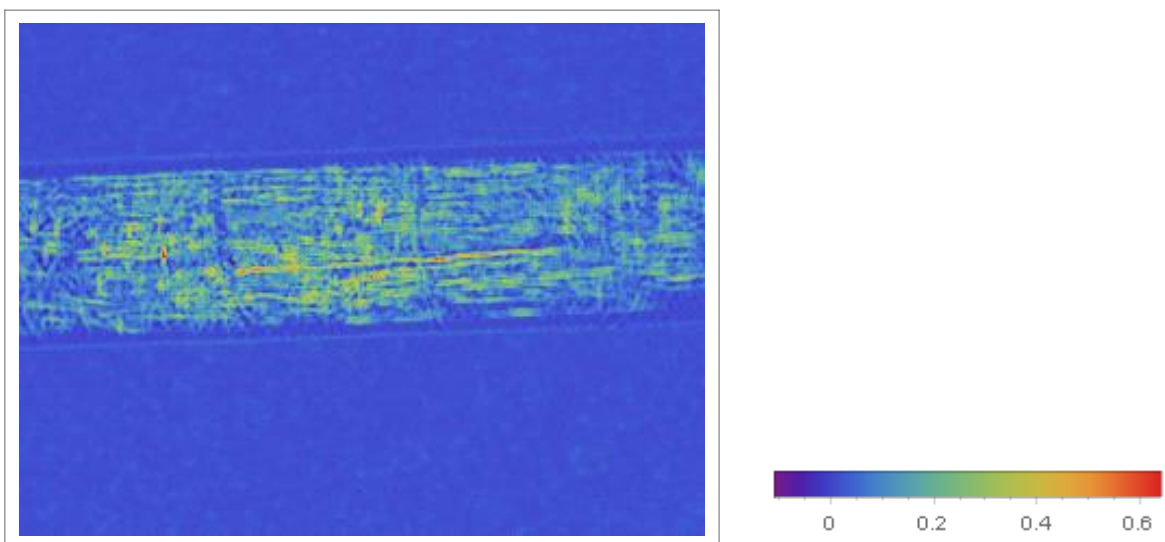
353s3

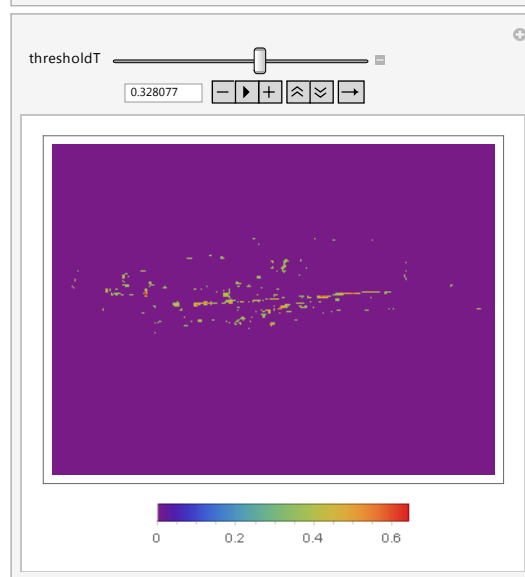
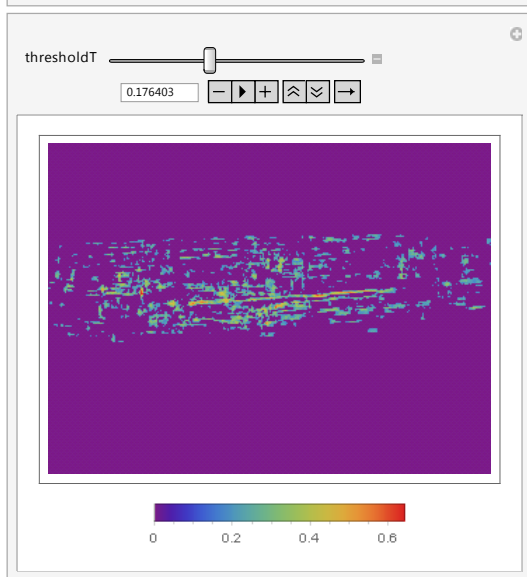
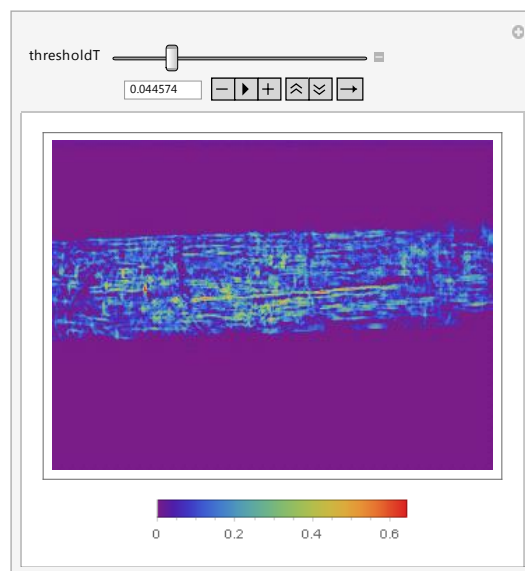
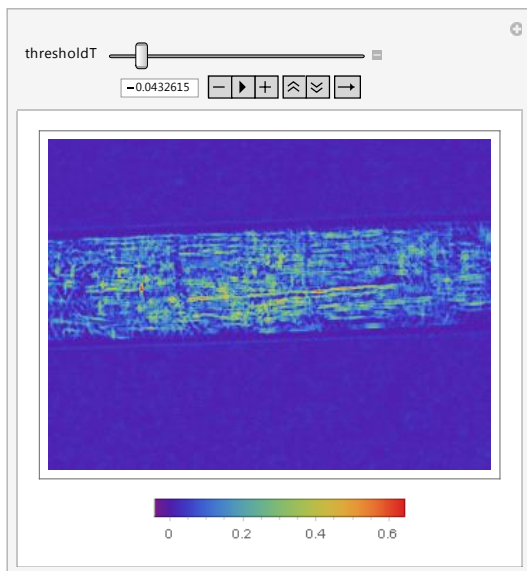


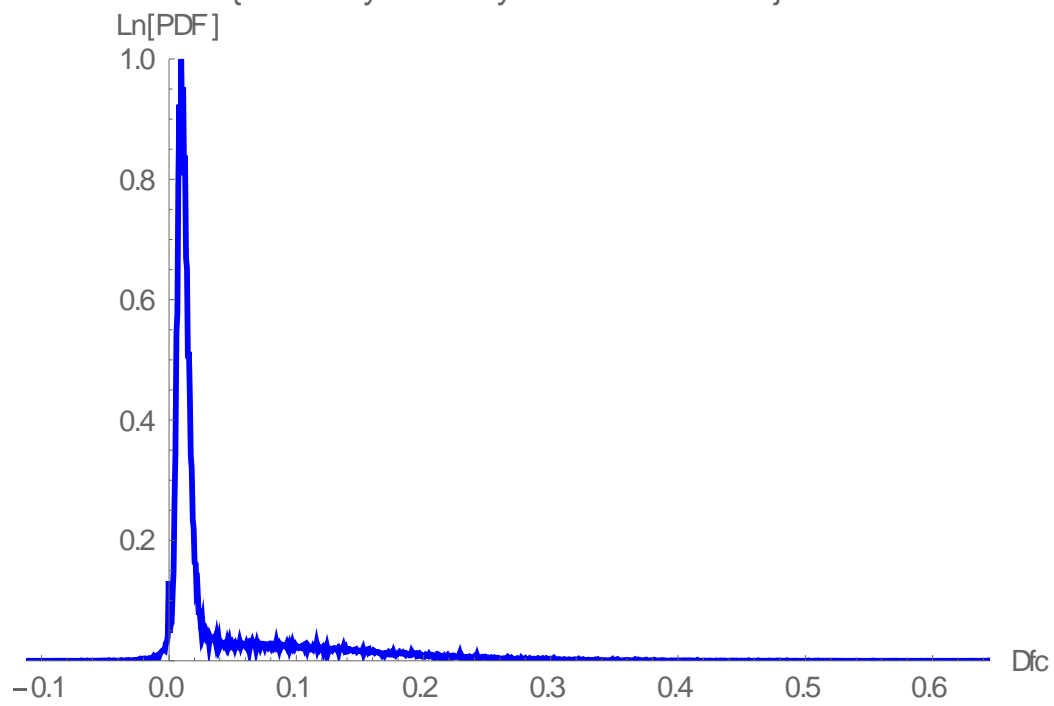
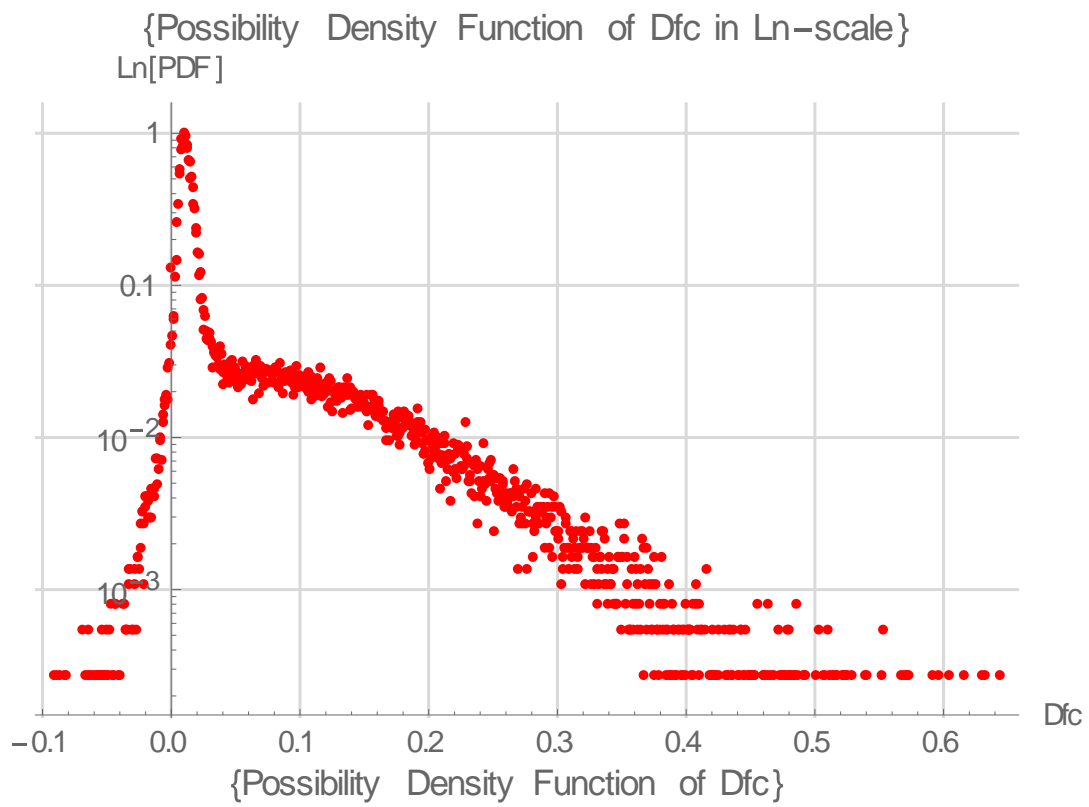


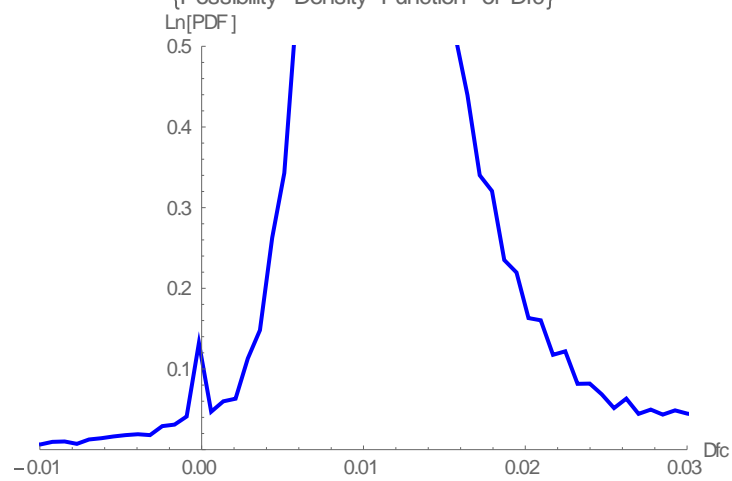
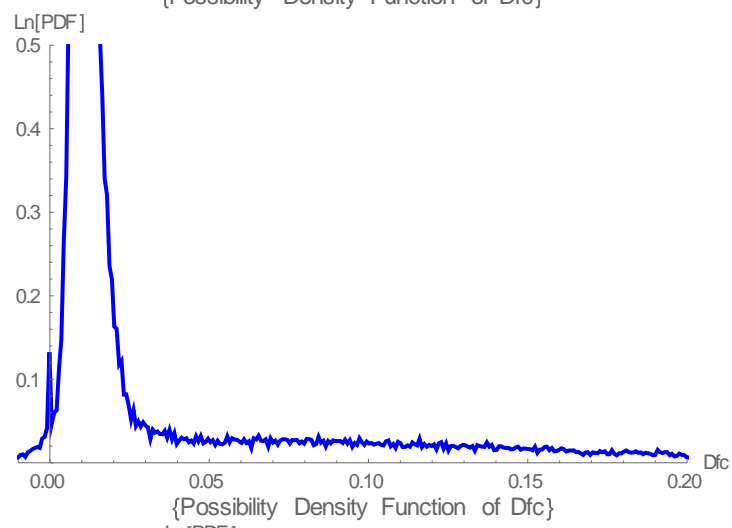
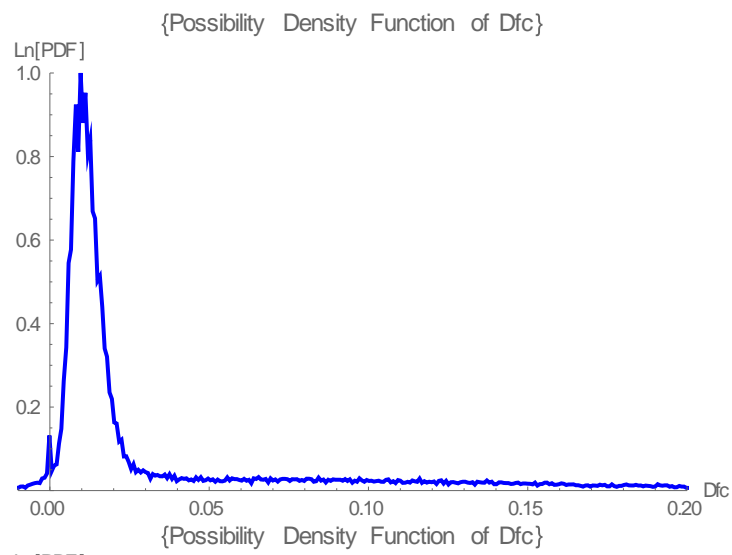


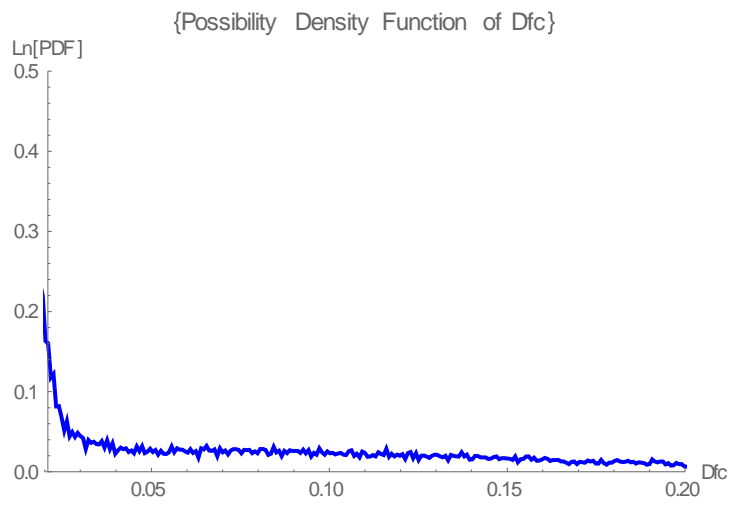
400s3



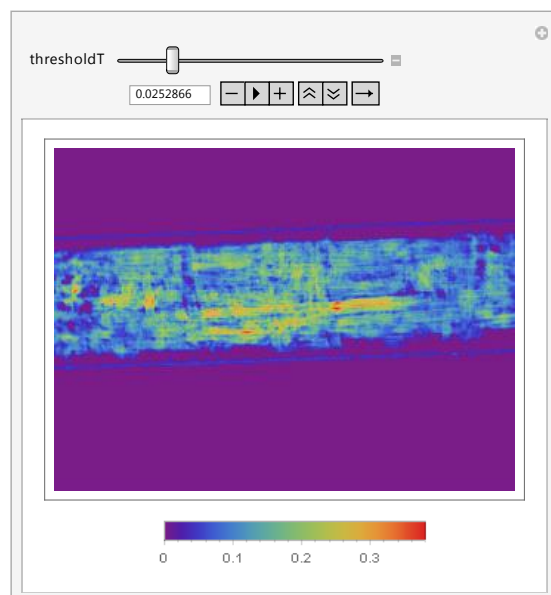
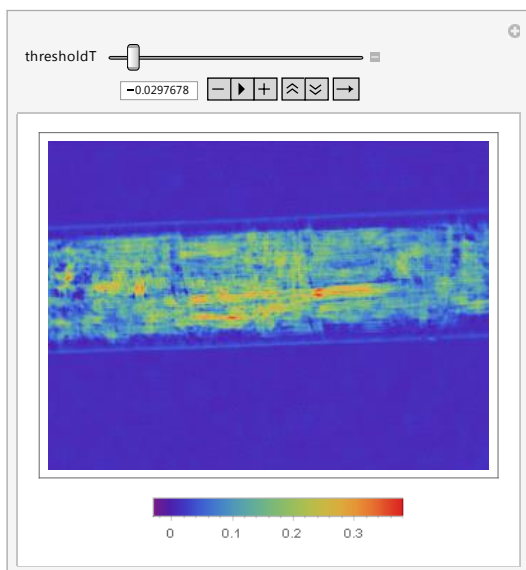
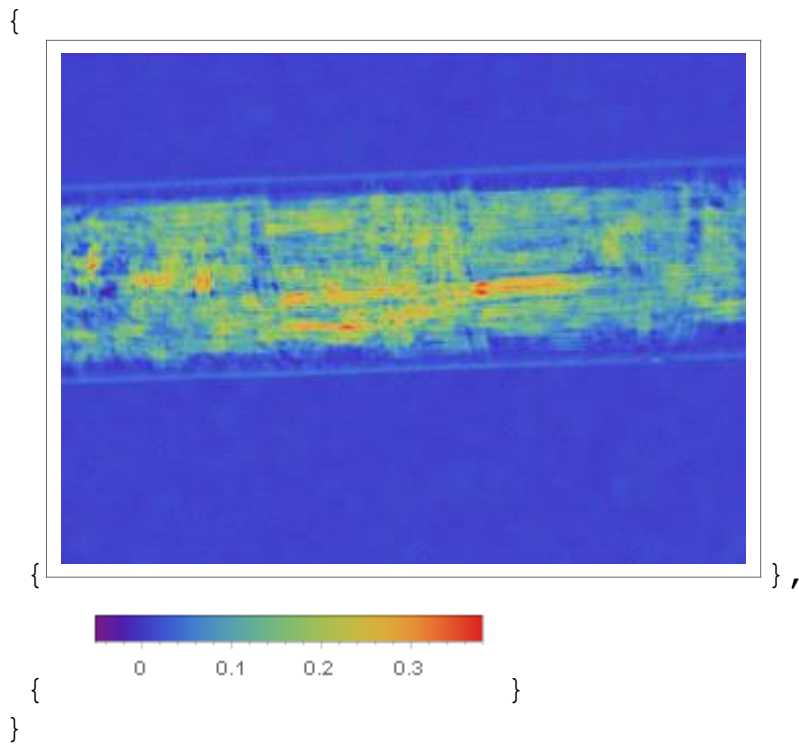


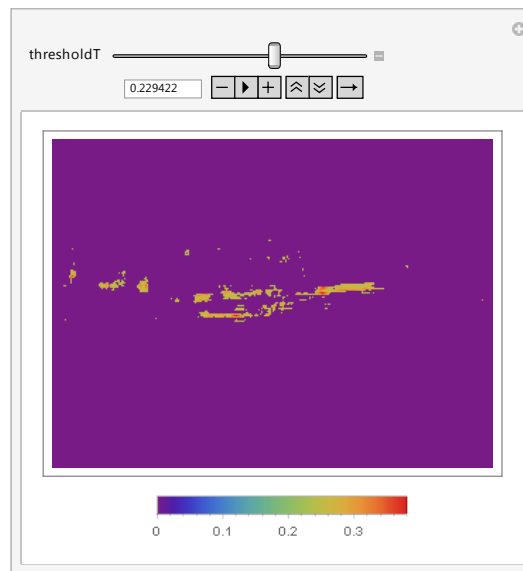
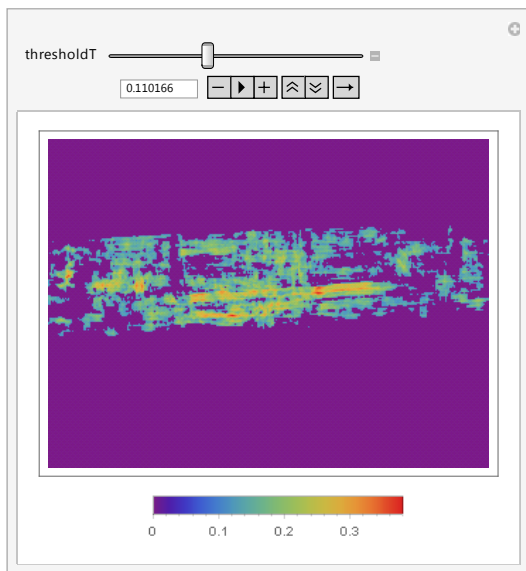




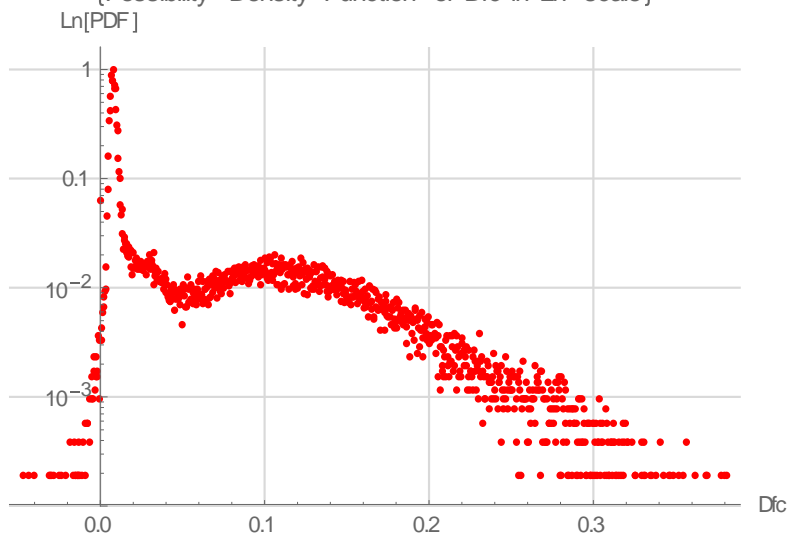


400s4

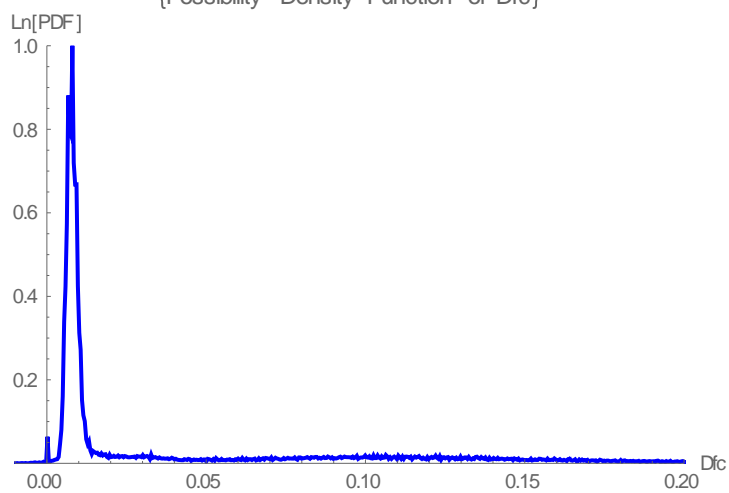


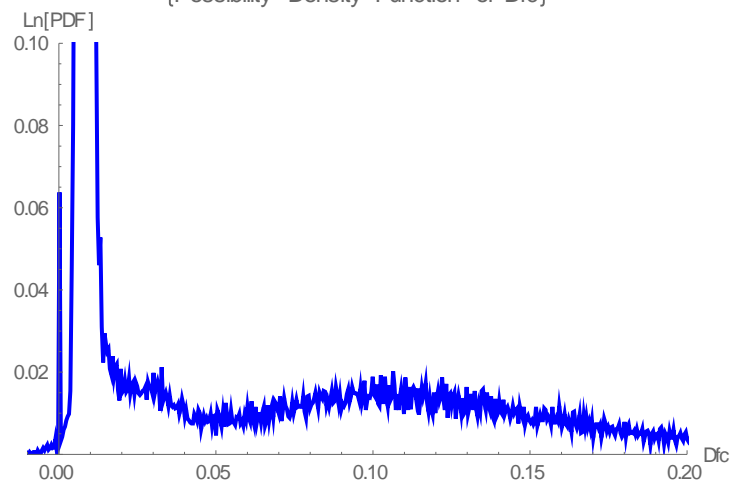
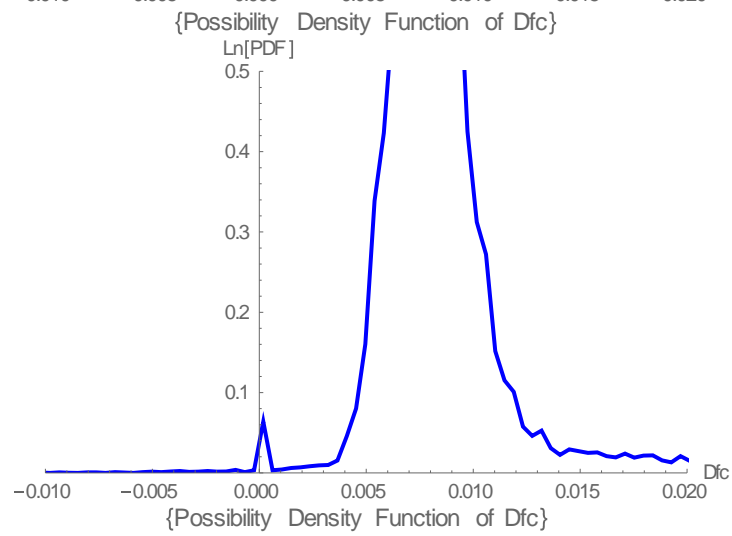
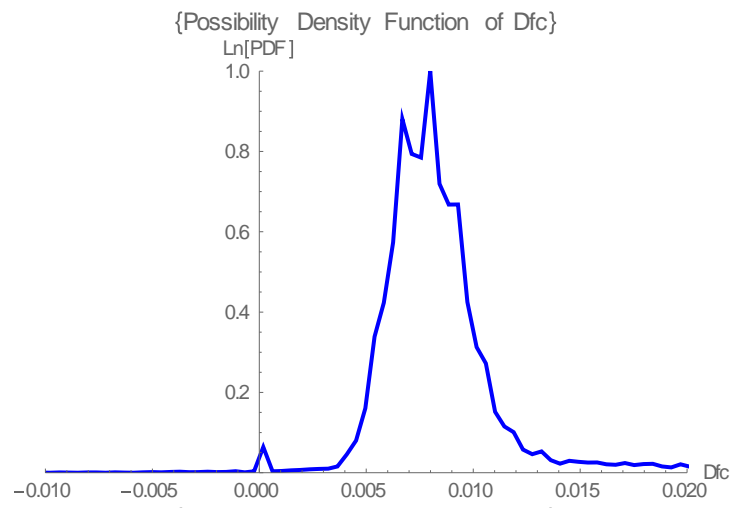


{Possibility Density Function of Dfc in Ln-scale}

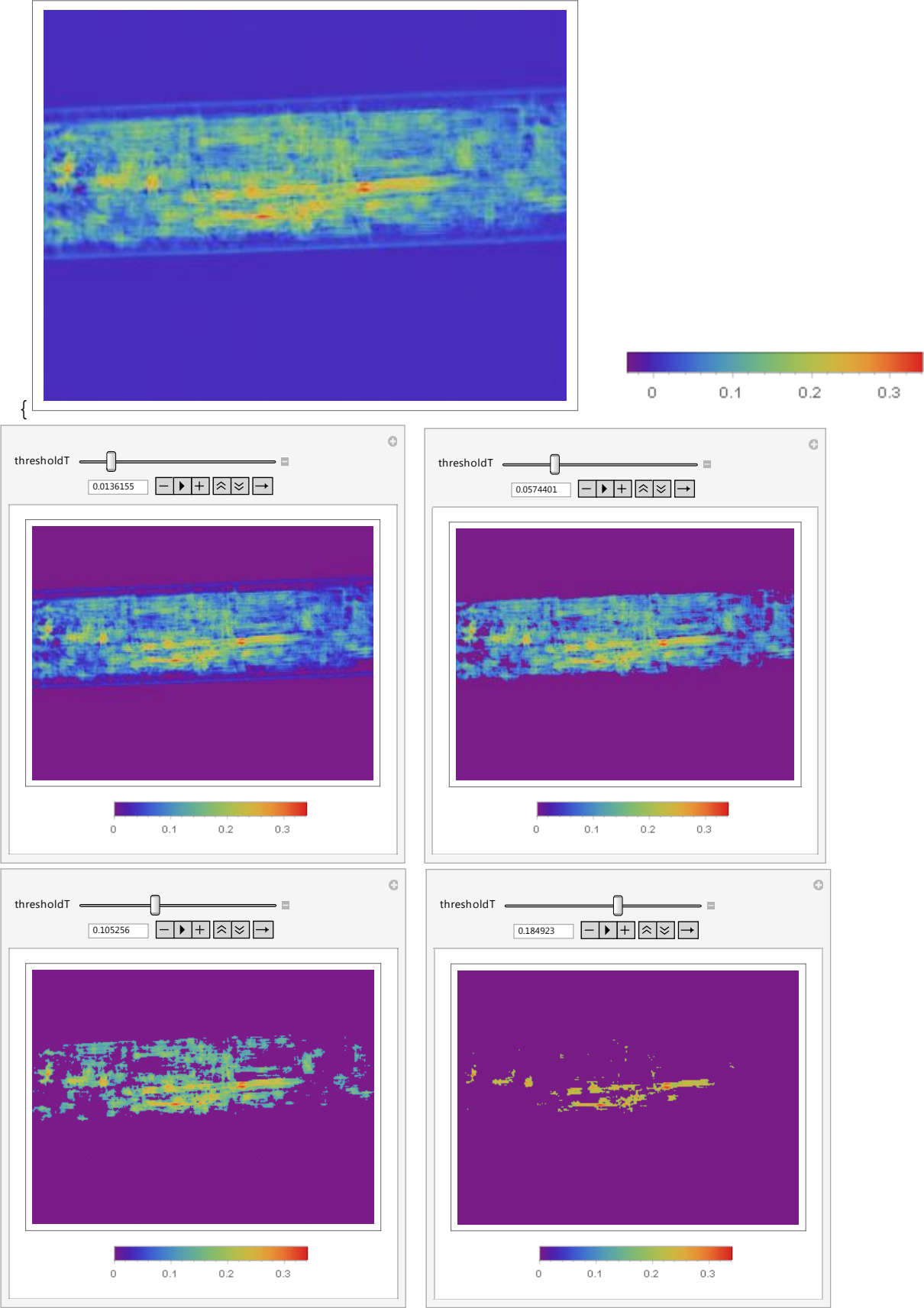


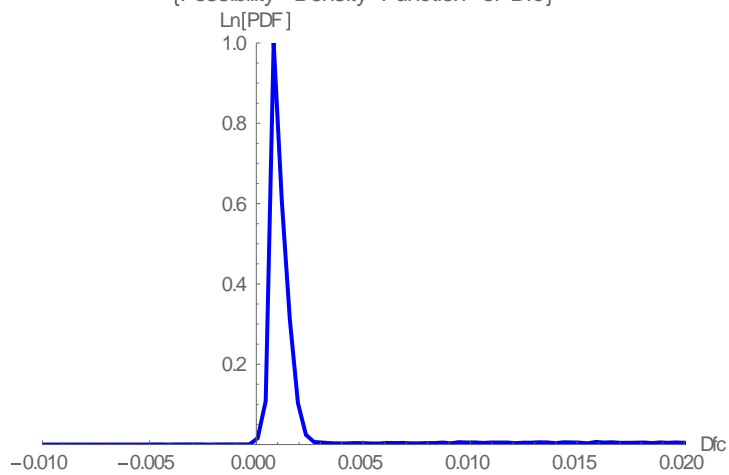
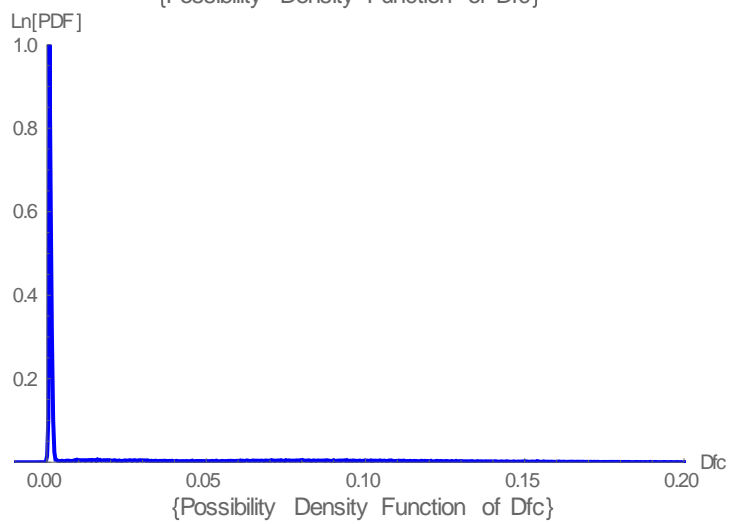
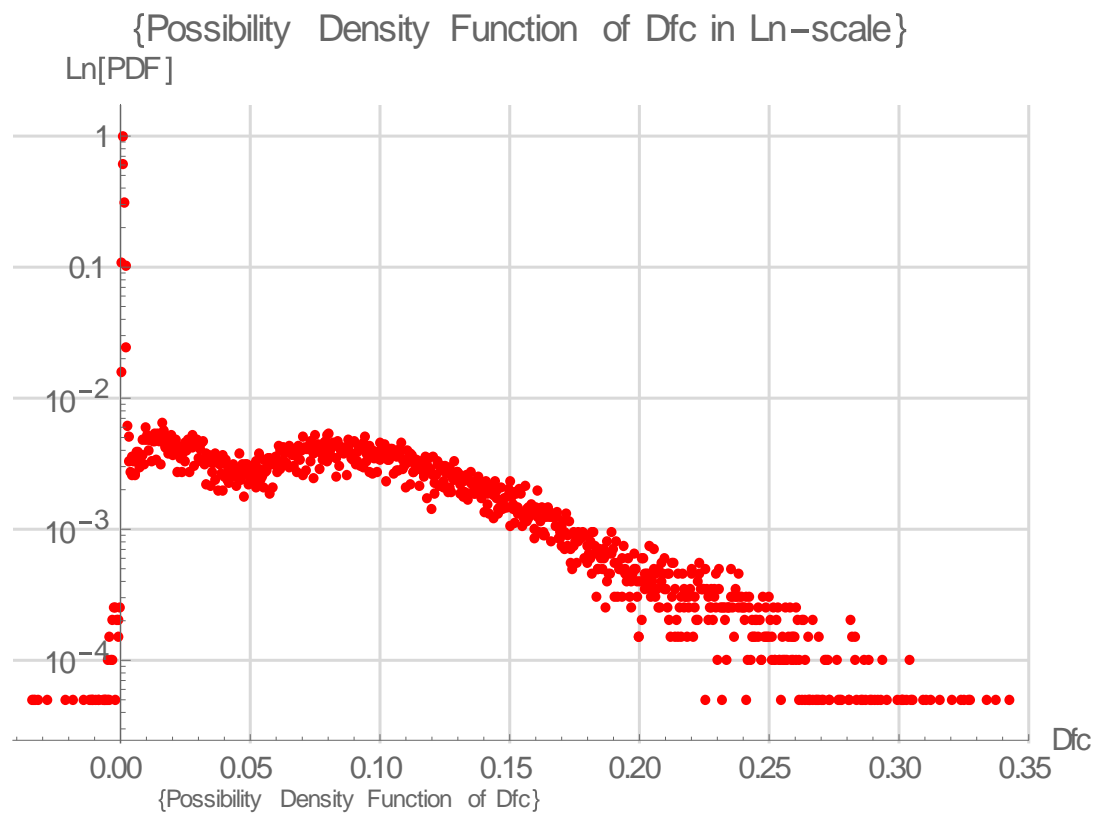
{Possibility Density Function of Dfc}

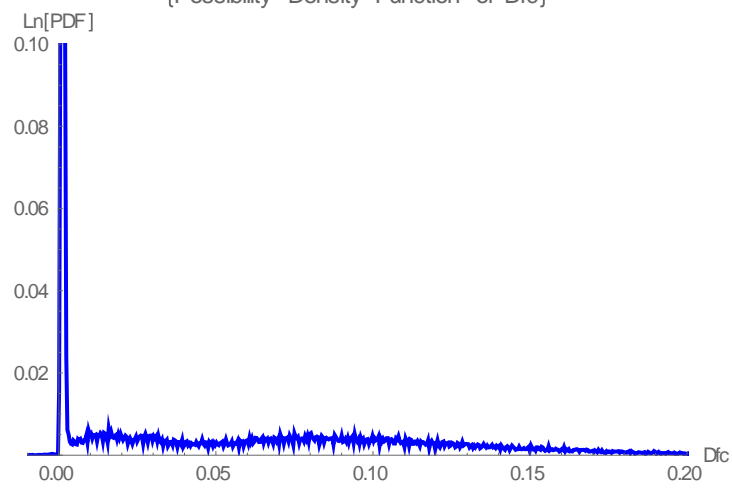
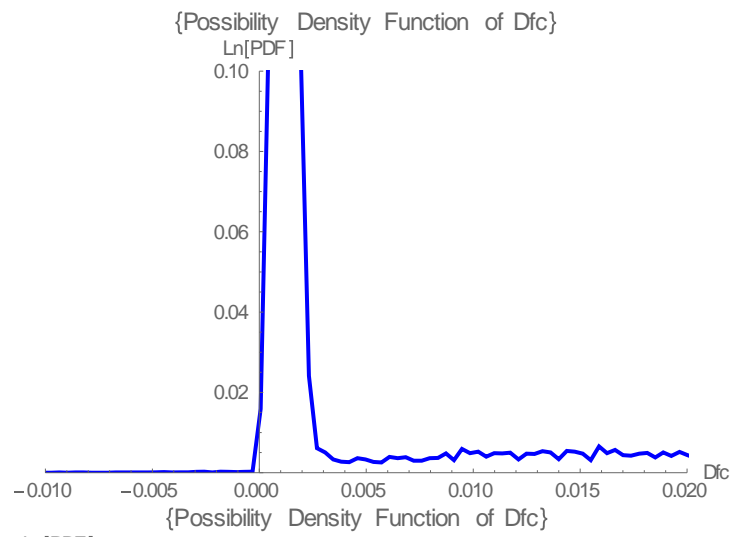




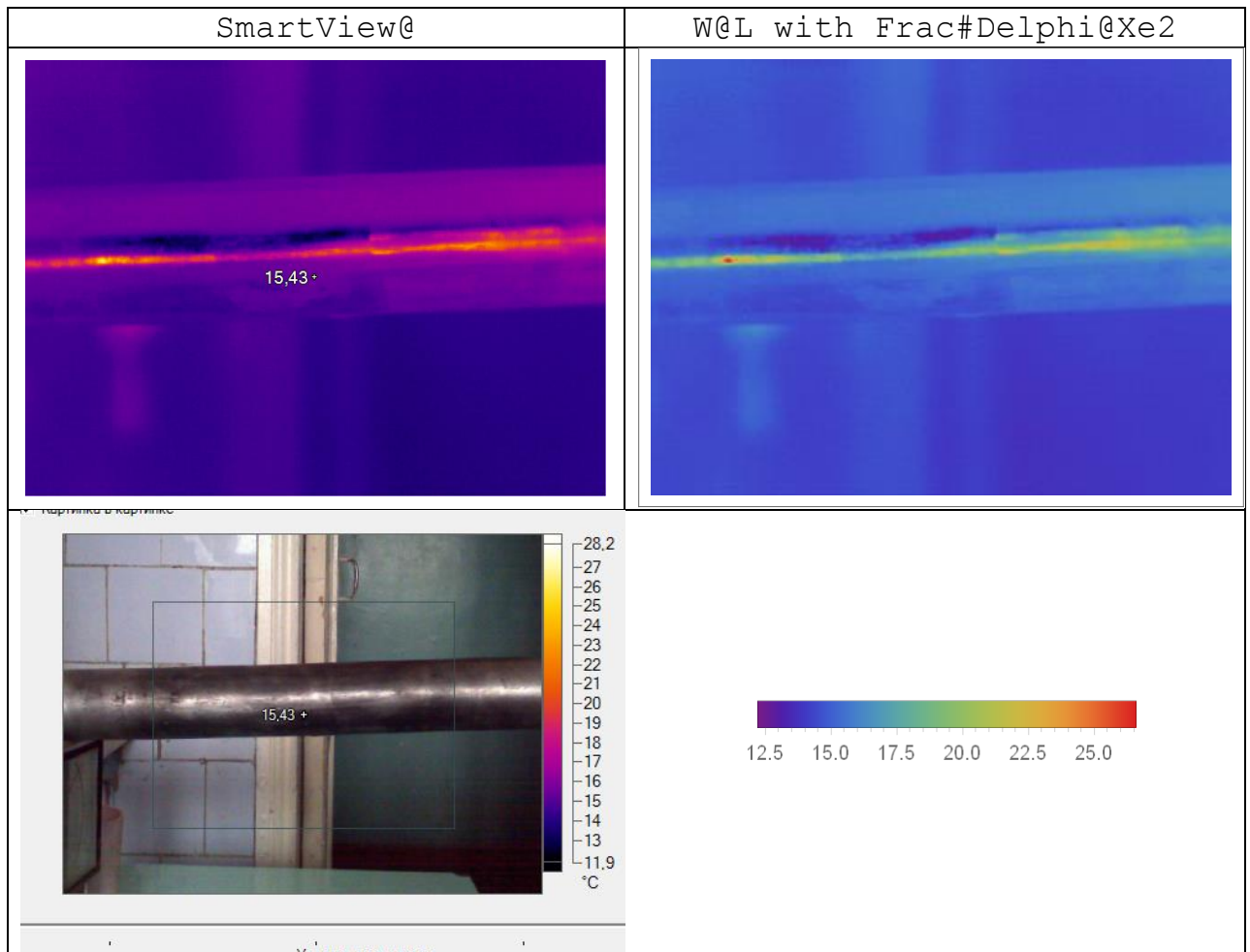
410s3



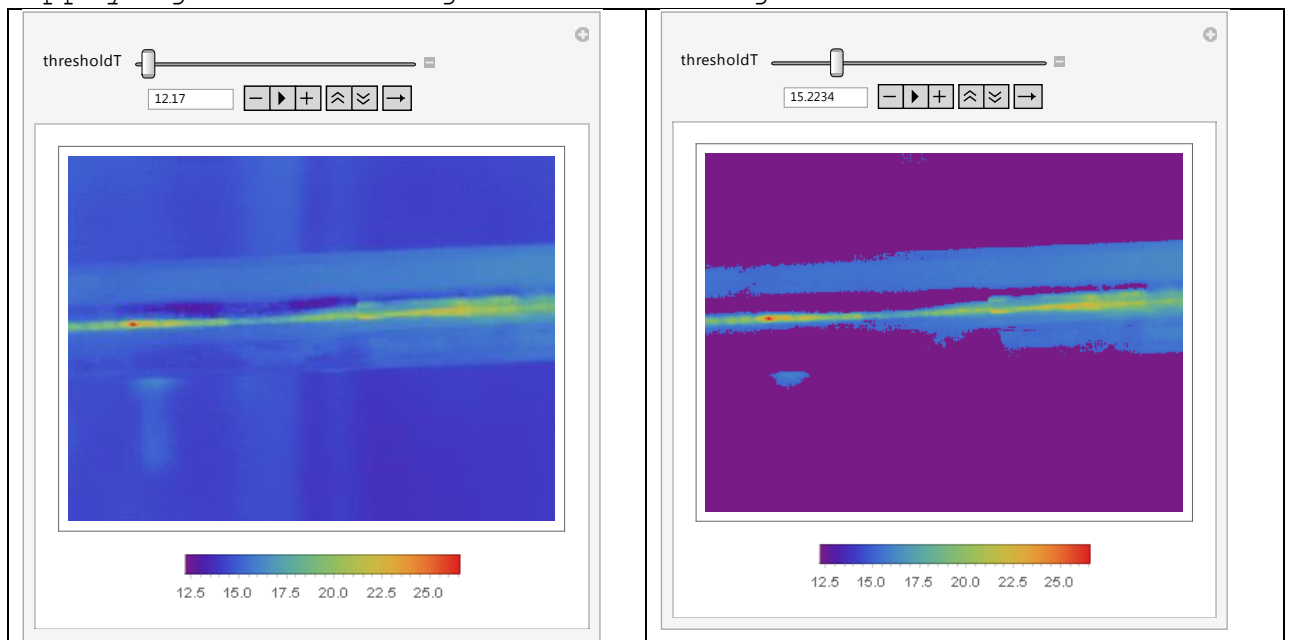


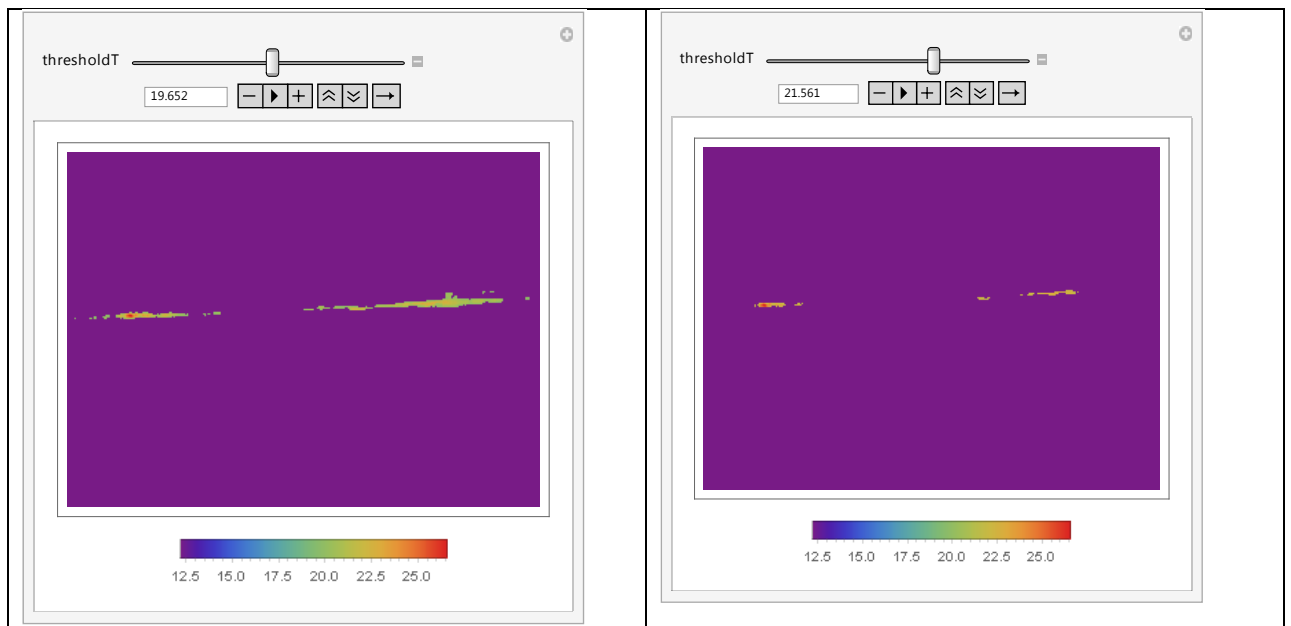


Thermograms: 02.09.14 22:12
T353 no filtering to obtained-data in W@L
Time: 10:44:44

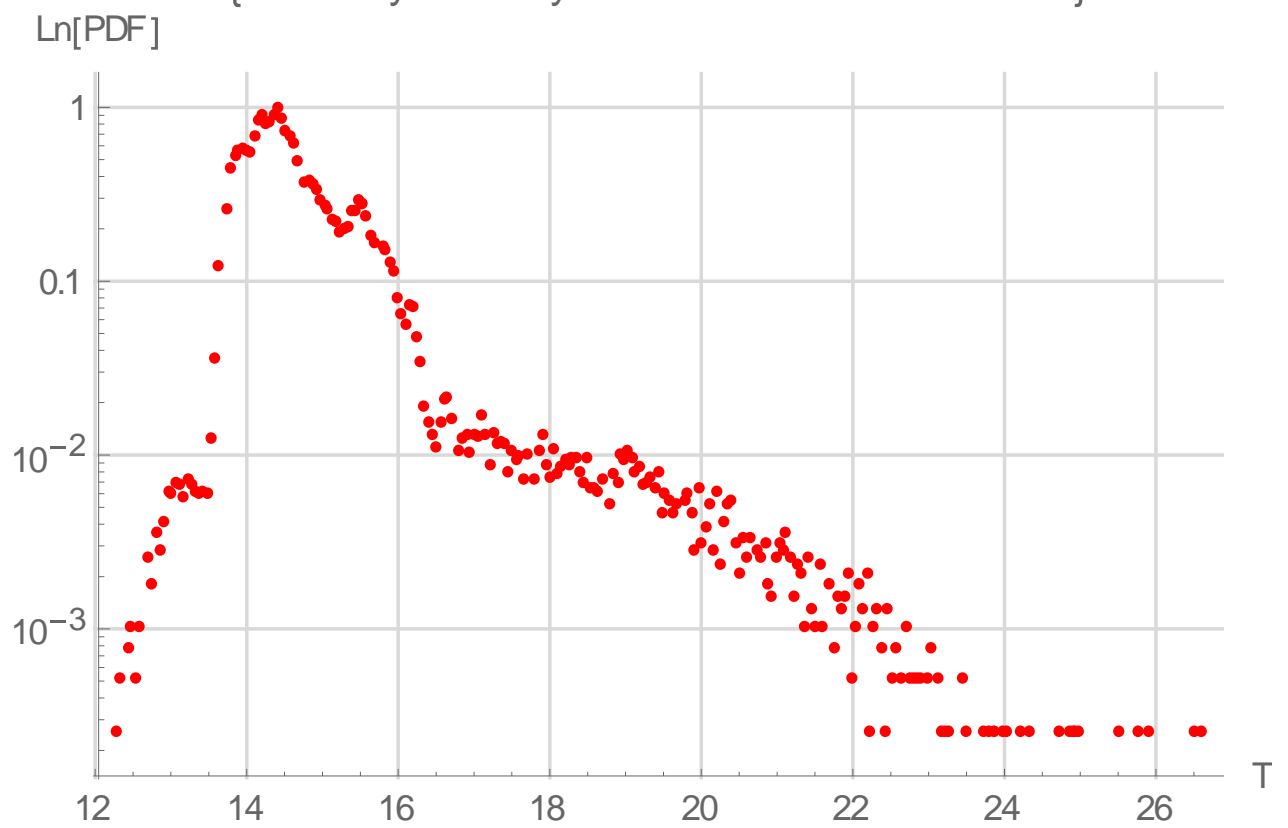


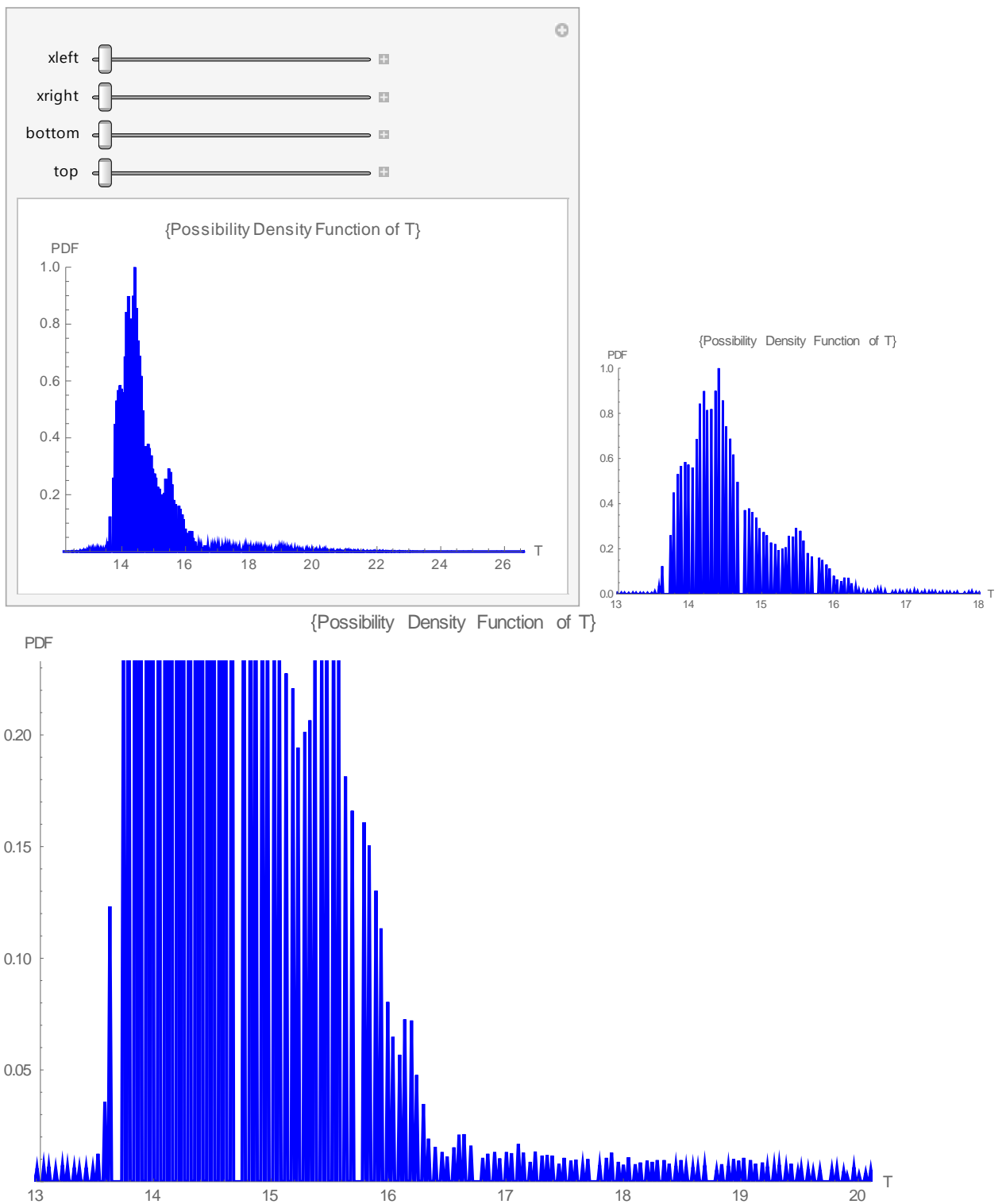
Applying thresholding to 353 thermogram:





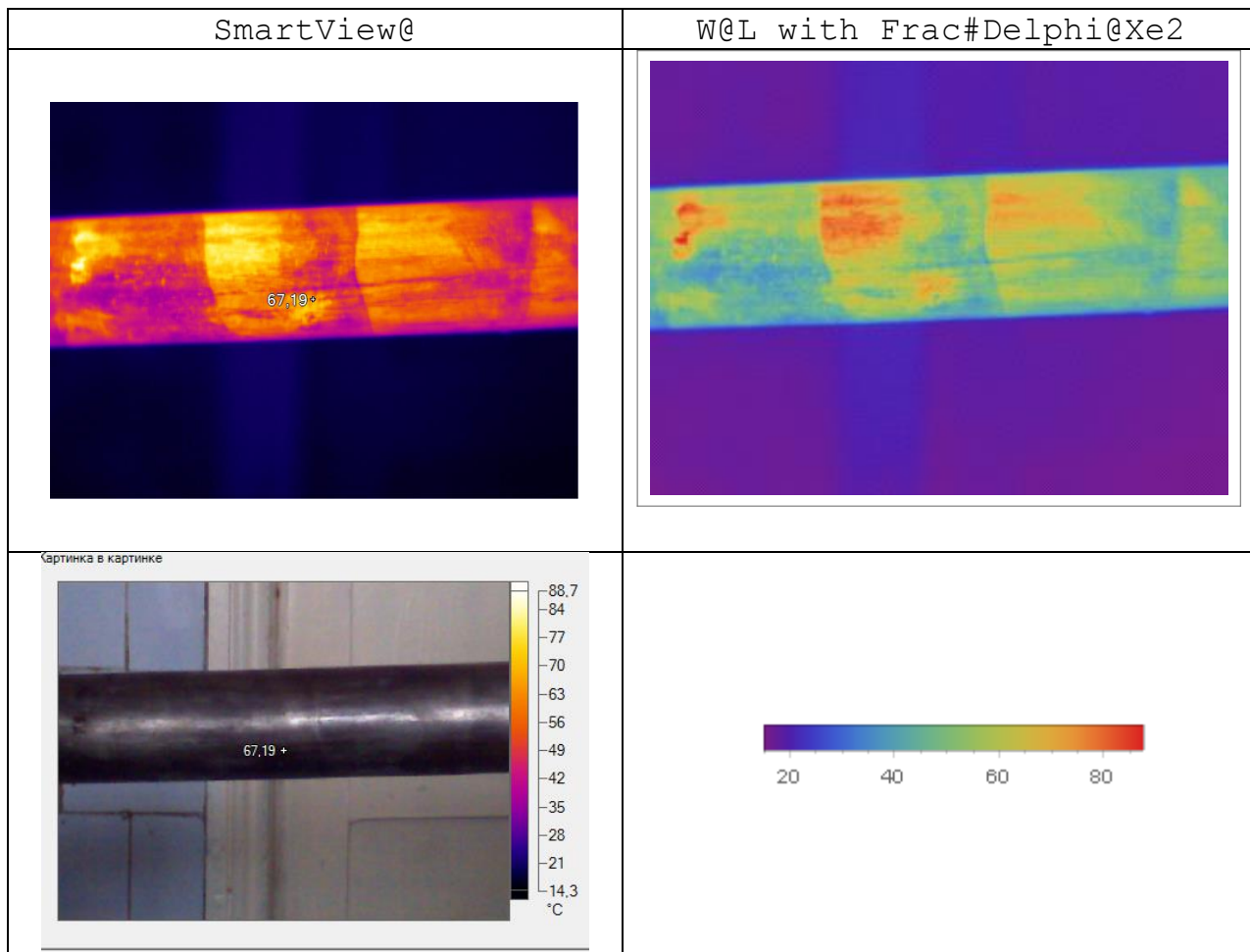
{Possibility Density Function of T in Ln-scale}



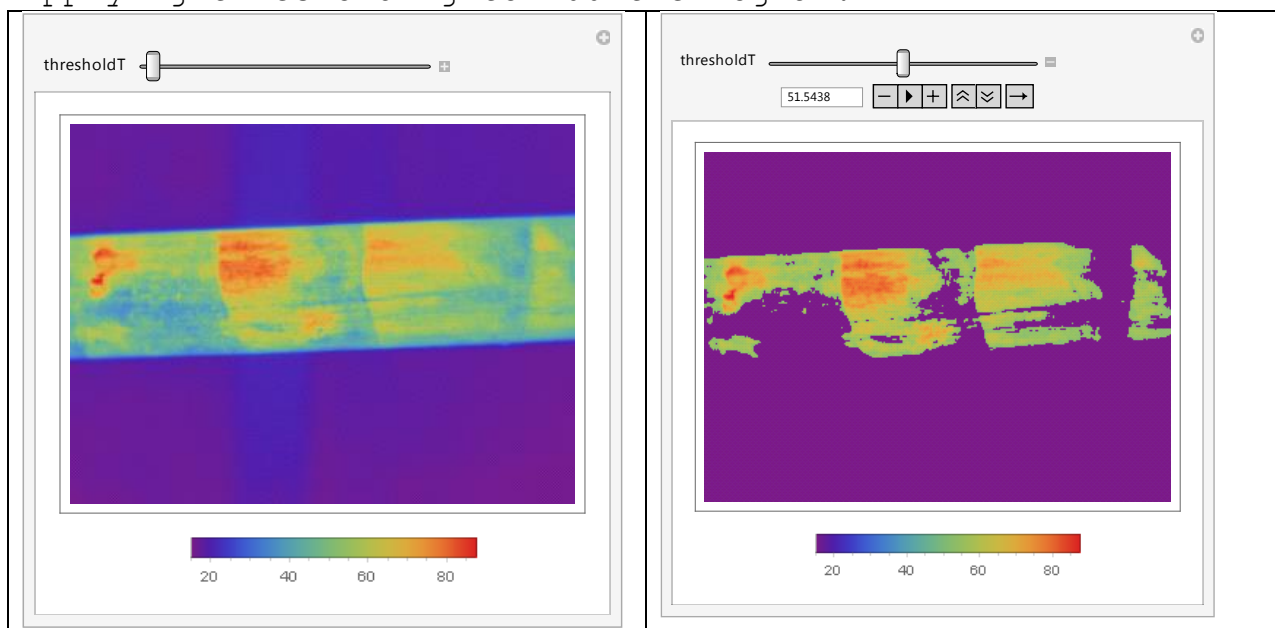


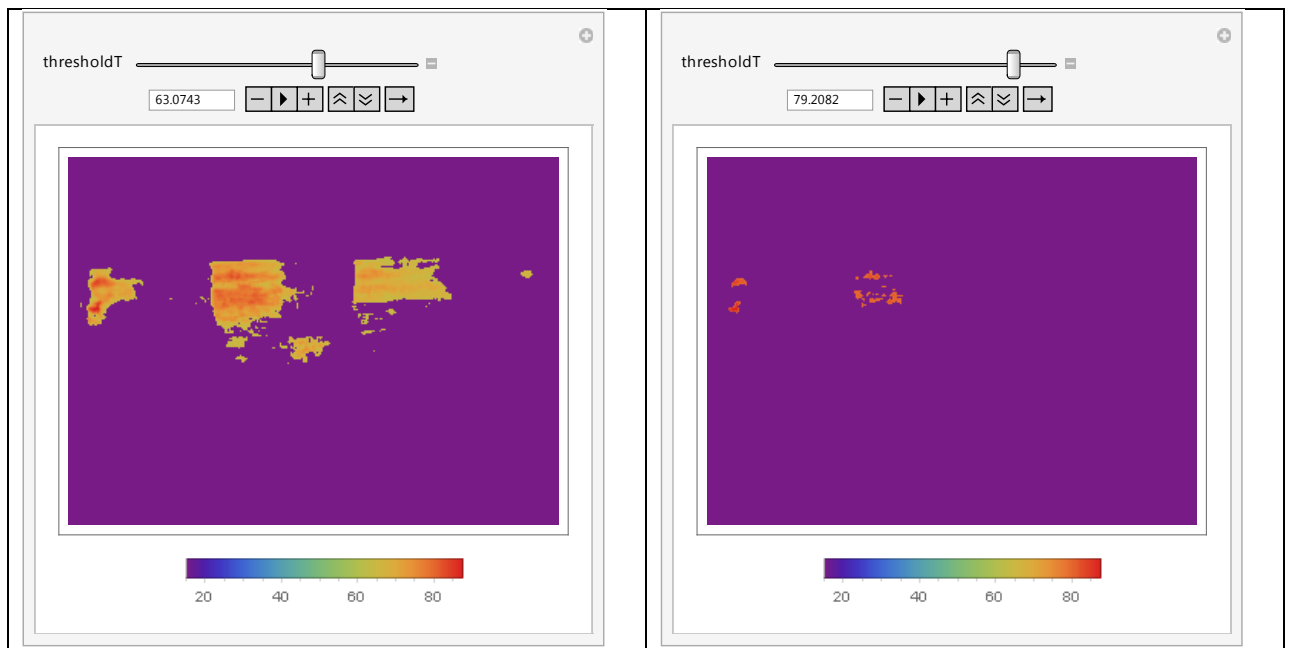
T400 no filtering to obtained-data in W@L

Time: 11:16:25

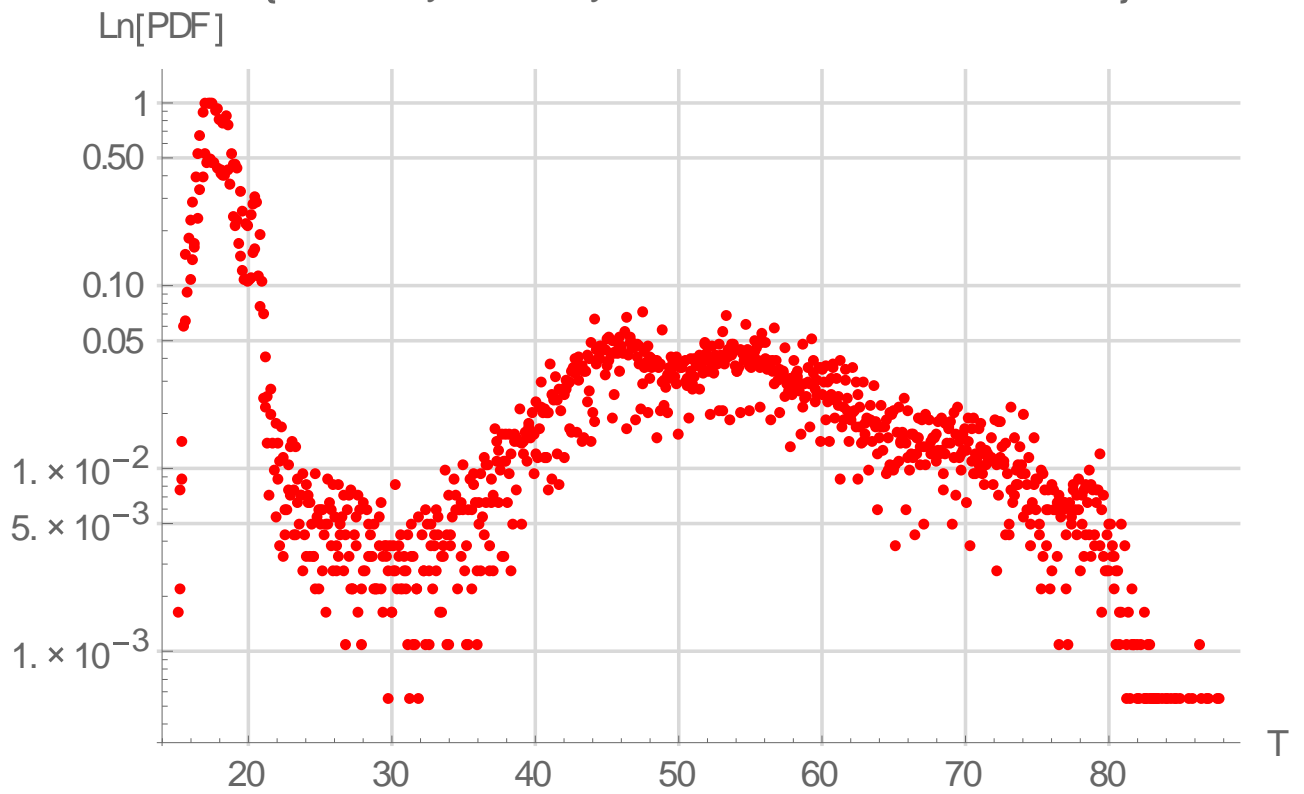


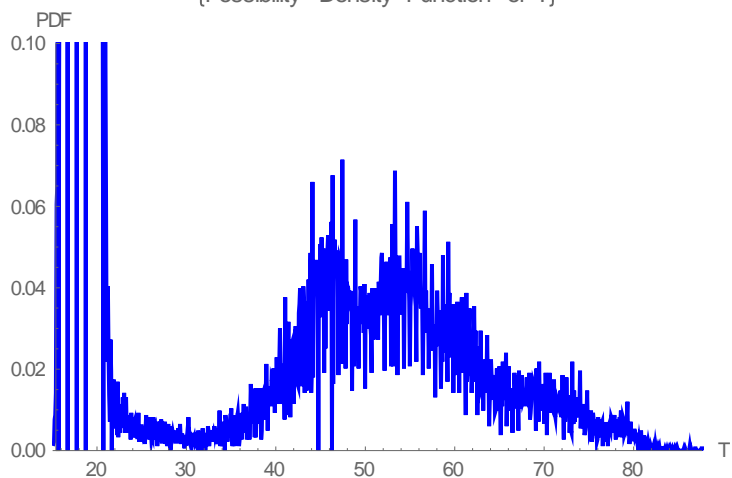
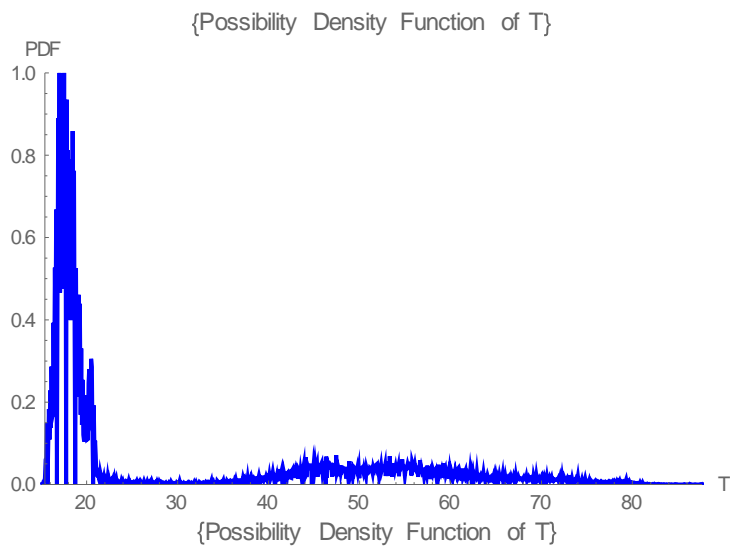
Applying thresholding to 400 thermogram:



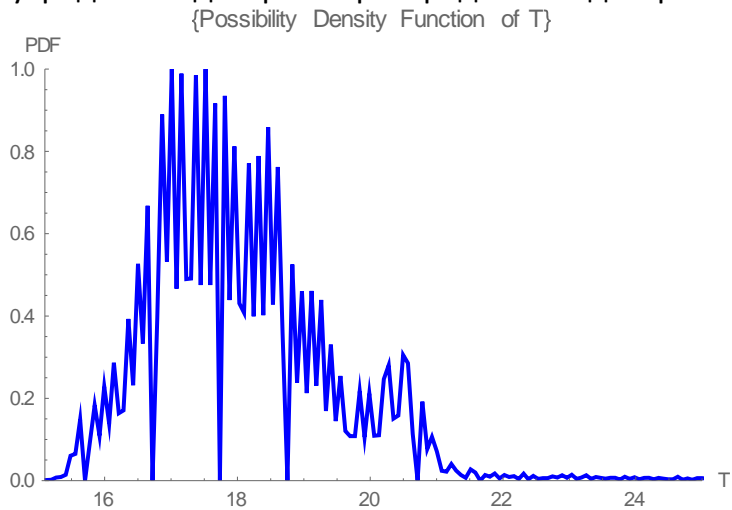


{Possibility Density Function of T in Ln-scale}

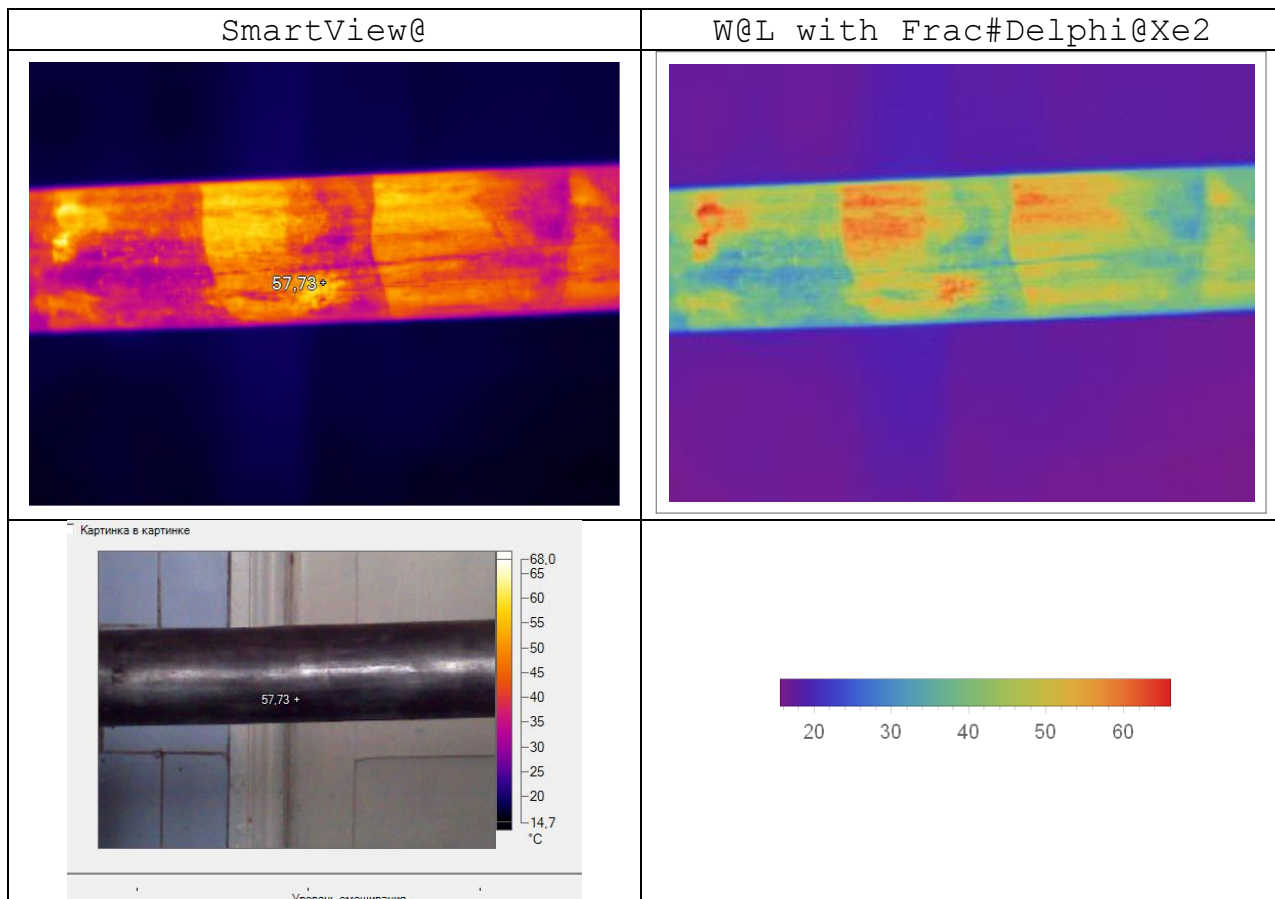




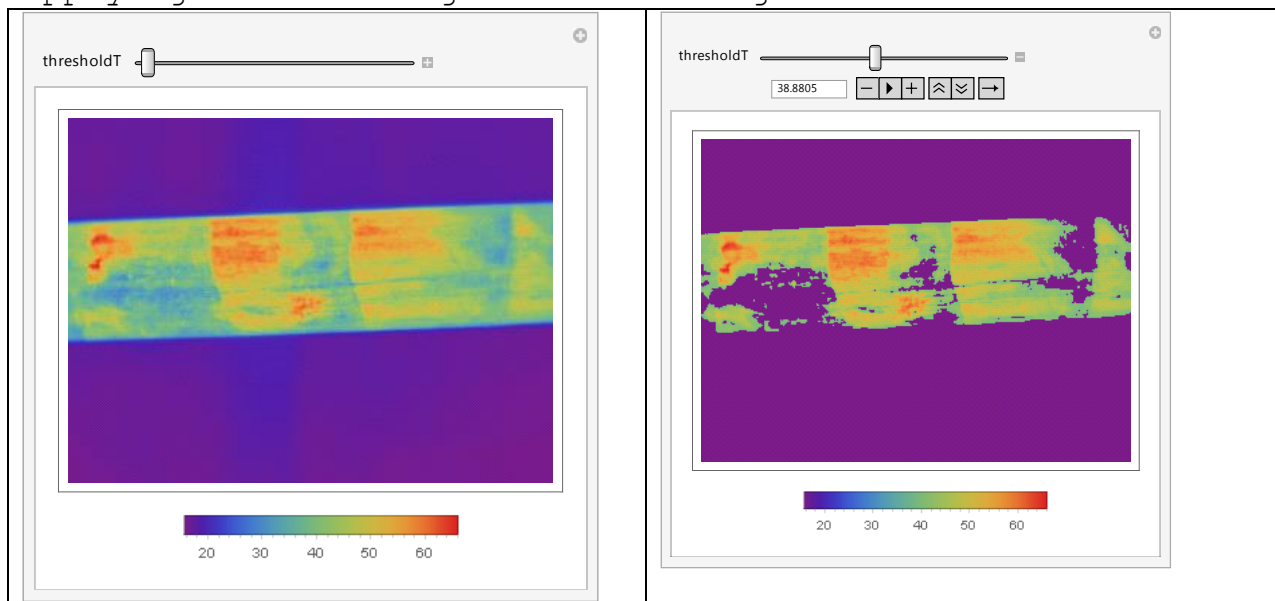
// На сильные осцилляции не обращаем внимание. Осцилляции – следствие усреднения дискретно распредел вел на дискретном интервале//

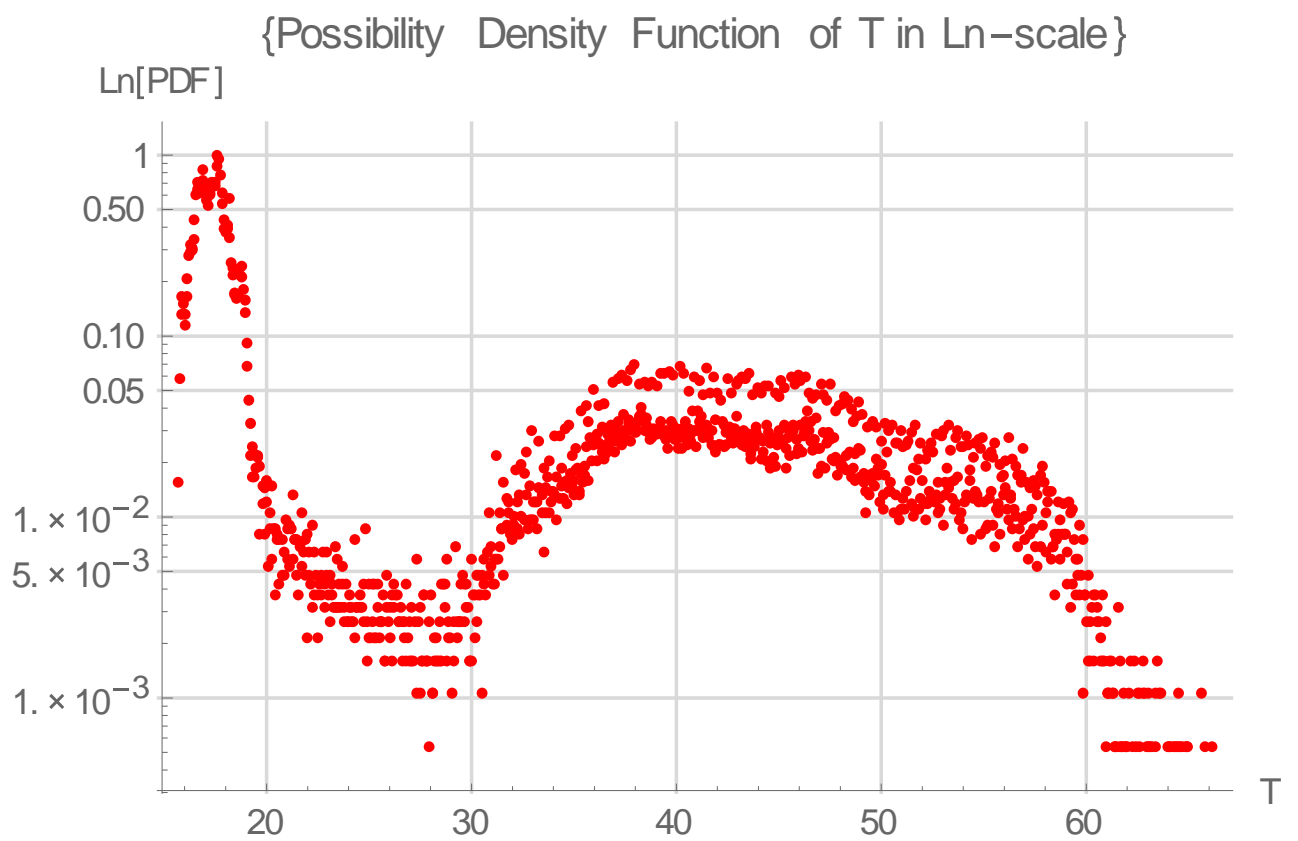
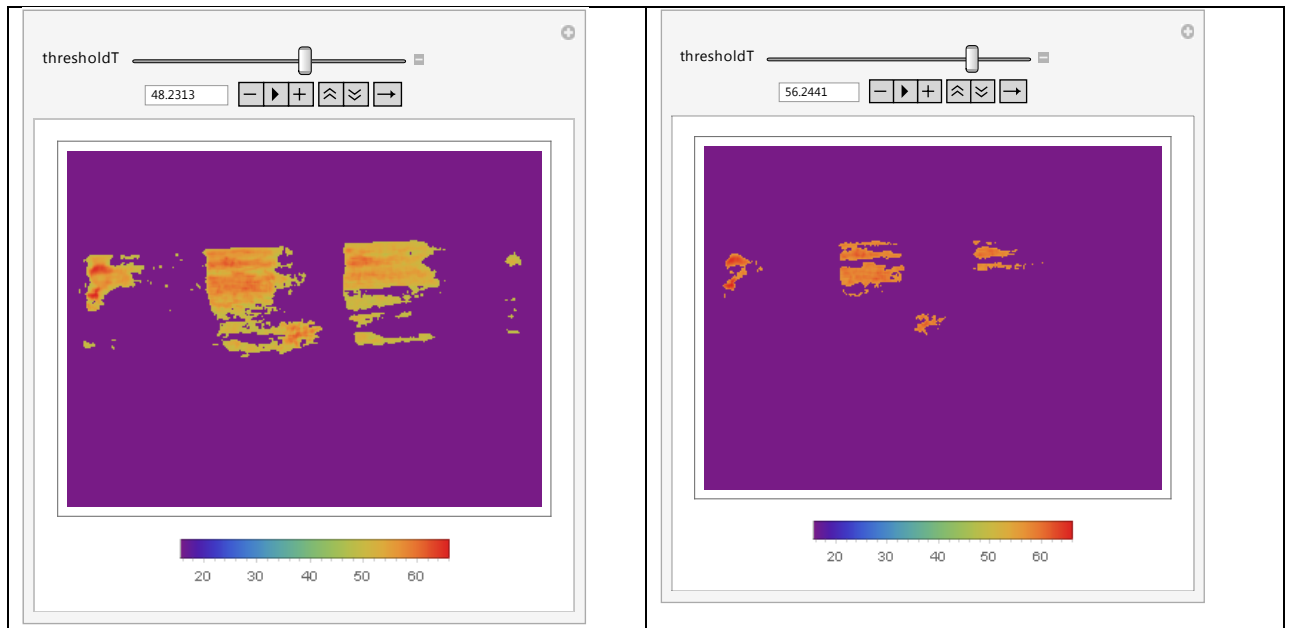


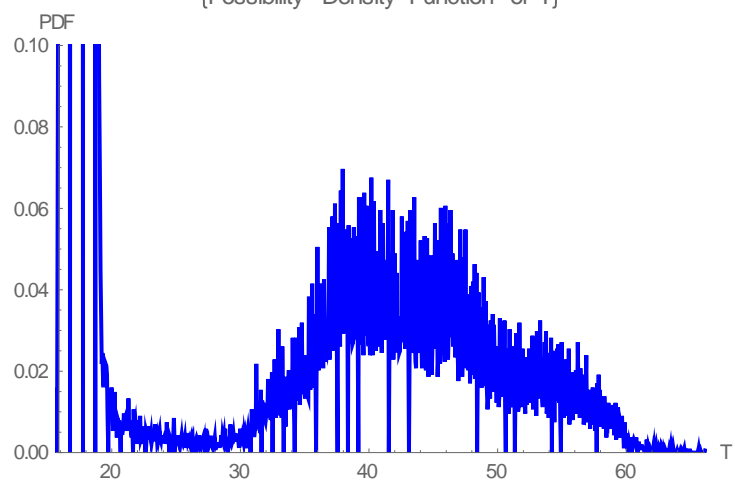
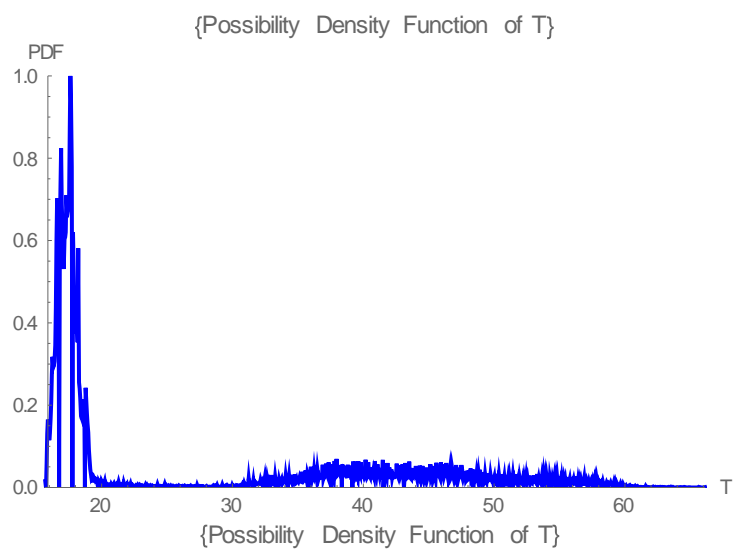
T410 no filtering to obtained-data in W@L
Time: 11:18:10



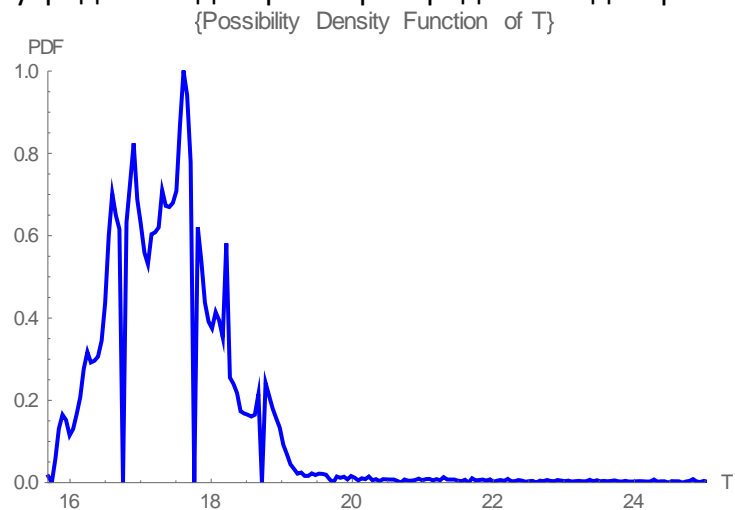
Applying thresholding to 410 thermogram:





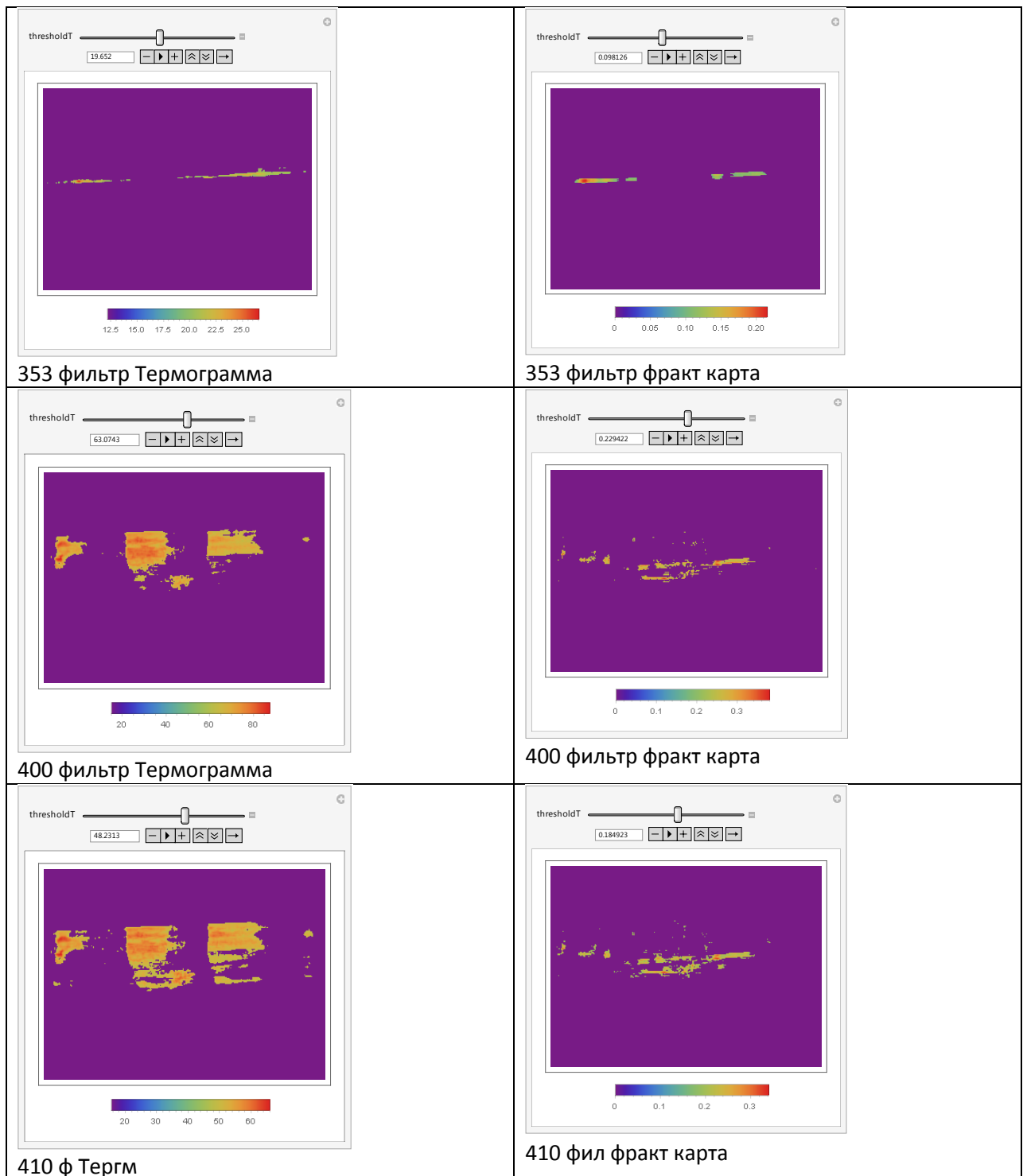


// На сильные осцилляции не обращаем внимание. Осцилляции – следствие усреднения дискретно распрел вел на дискретном интервале//



Выводы з сепарации термограмм и фрактальных карт:

1. Сепарация термограмм и их фрактальных карт позволяет распознавать практически разные типы дефектов (тепловых неоднородностей).



2. Нормализованные функции распределения вероятности $\ln(\text{PDF}(T))\text{vs}T$ и $\ln(\text{PDF}(D_{fc}))\text{vs}D_{fc}$ имеют длинные хвосты, для T – хорошо заметен максимум распределения T в хвосте, который для D_{fc} – либо отсутствует, или менее выражен.